ФИЗИКА-ТЕХНИКА ИНСТИТУТИ, ИОН ПЛАЗМА ВА ЛАЗЕР ТЕХНОЛОГИЯЛАРИ ИНСТИТУТИ, САМАРҚАНД ДАВЛАТ УНИВЕРСИТЕТИ ХУЗУРИДАГИ ИЛМИЙ ДАРАЖАЛАР БЕРУВЧИ DSc.27.06.2017. FM./T.34.01 РАҚАМЛИ ИЛМИЙ КЕНГАШ ТОШКЕНТ ДАВЛАТ ТЕХНИКА УНИВЕРСИТЕТИ

ЭРГАШОВ ЁКУБ СУВОНОВИЧ

ИОН БОМБАРДИМОН УСУЛИ БИЛАН М₀ ВА Si СИРТИДА ВА СИРТ ОСТИ СОХАЛАРИДА ХОСИЛ ҚИЛИНГАН НАНОЎЛЧАМЛИ ТУЗИЛМАЛАРНИНГ ШАКЛЛАНИШ ҚОНУНИЯТЛАРИ ВА ЭЛЕКТРОН ХУСУСИЯТЛАРИ

01.04.04 – Физик электроника

ФИЗИКА-МАТЕМАТИКА ФАНЛАРИ БЎЙИЧА ФАЛСАФА ДОКТОРИ (PhD) ДИССЕРТАЦИЯСИ АВТОРЕФЕРАТИ

Тошкент – 2017

УДК: 537.533.7.8

Физика-математика фанлари бўйича фалсафа доктори (PhD) диссертацияси автореферати мундарижаси

Оглавление автореферата диссертации доктора философии (PhD) по физико-математическим наукам

Contents of dissertation abstract of doctor of philosophy (PhD) on physical mathematical sciences

Эргашов Ёкуб Сувонович Ион бомбардимон усули билан Мо ва Si сиртида ва сирт ости сохаларида хосил қилинган наноўлчамли тузилмаларнинг шаклланиш конуниятлари ва электрон хусусиятлари
Эргашов Ёкуб Сувонович Закономерности формирования и электронные свойства наноразмерных структур, созданных на поверхности и приповерхностной области Мо и Si методом ионной бомбардировки
Ergashov Yokub Suvonovich Formation patterns and electronic properties of nanoscale structures created on the surface and near-surface region of mo and si by method of ion bombarding
Эълон қилинган ишлар рўйхати Список опубликованных работ List of published works

мавзуси Ўзбекистон Республикаси Вазирлар Махкамаси хузуридаги Олий аттестация комиссиясида B2017.1. PhD/FM24 ракам билан рўйхатга олинган.

Диссертация Тошкент давлат техника университетида бажарилган.

Диссертация автореферати икки тилда (ўзбек, рус, инглиз (резюме)) веб-сахифанинг fti-kengash.uz ҳамда «ZiyoNet» ахборот-таълим портали www.ziyonet.uz манзилларига жойлаштирилган.

Илмий маслахатчи: Умирзаков Болтаходжа Ерматович физика-математика фанлари доктори, профессор

Расмий оппонентлар: Эгамбердиев Бахром Эгамбердиевич физика-математика фанлари доктори, профессор

Турсунметов Комил Ахмедович физика-математика фанлари доктори, профессор

Етакчи ташкилот: Фарғона политехника институти

Диссертация химояси Физика-техника институти, Ион-плазма ва лазер
технологиялари институти, Самарқанд давлат университети хузуридаги DSc.27.06.2017.
FM./T.34.01 рақамли Илмий кенгашнинг 2017 йил «» соат даги
мажлисида бўлиб ўтади. (Манзил: 100084, Тошкент шахри, Бодомзор йўли кўчаси, 2б-уй.
Тел./факс: (99871) 235-42-91; e-mail: lutp@uzsci.net, Физика-техника институти мажлислар
зали.)
Диссертация билан Физика-техника институтининг Ахборот-ресурс марказида
танишиш мумкин. (рақам билан рўйхатга олинган.) Манзил: 100084, Тошкент шахри,
Бодомзор йўли кўчаси, 2б-уй. Физика-техника институти. Тел./факс: (99871) 235-30-41.
Диссертация автореферати 2017 йил «»да тарқатилди.
(2017 йил «» даги рақамли реестр баенномаси.)

С.Л. Лутпуллаев

Илмий даражалар берувчи илмий кенгаш раиси, ф.-м.ф.д., профессор

А.В. Каримов

Илмий даражалар берувчи илмий кенгаш илмий котиби, ф.-м.ф.д., профессор

С.А. Бахрамов

Илмий даражалар берувчи илмий кенгаш қошидаги илмий семинар раиси, ф.-м.ф.д., профессор

КИРИШ (фалсафа доктори (PhD) диссертацияси аннотацияси)

Диссертация мавзусининг долзарблиги ва зарурати. Жахон микèсида бугунги кунда жадал ривожланаèтган физик электроника соҳасида истиқболли йўналишлардан бири наноматериаллар шаклланишида ўлчамга боғлиқлик хусусияти, электрон тузилмаларнинг оптик, электр, магнит ва бошқа хусусиятларининг боғлиқлиги бўйича тадқиқот ишлари ҳисобланади. Бу хисобдан ўлчамлилик эффектини материалларнинг табиатига боғлиқлиги ва бу хусусият кам наноўлчамдаги металларга яримўтказгич хусусиятини содир қилиши, яримўтказгичларда эса ўлчамнинг кичиклашиши уларнинг тақиқланган зона кенглигига боғлиқлигини тадқиқ қилиш асосий вазифалардан бири ҳисобланади.

Мустақиллик йилларида мамлакатимизда физик электроника соҳасини ривожлантириш борасида физик кимевий самарали ходисалар жараенларни қамраб олган электрон асбобларнинг хар хил турларини яратишда фундаментал ахамиятга эга бўлган тадқиқотларга алохида эътибор қаратилди. борада амалиетда соханинг ишлатиладиган электрофизик хоссаларга эга бўлган сифатли янги материаллар базасини мустахкамлаш хамда замонавий талаблар асосида кристалларга кушимча элементлар киритиш йўли билан сифатини ошириш, уларнинг олиш технологияларини мукаммаллаштириш борасида сезиларли натижаларга Ўзбекистон Республикаси янада ривожлантириш бўйича эришилмокда. Харакатлар стратегияси асосида физик электрониканинг сохасида микроэлектроника ишлаб чикарилаетган элемент базалари функцияларини кенгайтириш муаммоларини хал қилиш, уларни кенг кўламда қўлланишини таъминлаш учун мухим ахамиятга эга.

Хозирги кунда жахонда наноўлчамли тузилмаларнинг шаклланиш қонуниятлари ва электрон хусусиятларини тадқиқ қилиш, кремний асосидаги структураларнинг металлар адгезиясини ошишриш ва контакт электр қаршилигини кескин камайтириш, ишлаш барқарорлигини таъминлаш имконини беради. Бу борада мақсадли илмий тадқиқотларни, жумладан қуйидаги йўналишлардаги илмий изланишларни амалга ошириш: хар хил энергиялар ва дозаларда метал ионларини имплантация килиш; металл ионлари билан бомбардимон қилиш ва кетма-кет қиздириш ердамида яримўтказгичларда наноўлчамли фазалар бўлишининг хосил механизмлари ва қонуниятларини ўрганиш; юпқа оксид қатлами билан қопланған Si ни қисман зарядланған металлар билан чанглатишнинг ўтиш қатламлари шаклланишига таъсирини тадқиқ қилиш. Бу йўналишда олиб ишлари ушбу диссертация мавзусининг борилаетган илмий-тадқиқот долзарблигини изохлайди.

Ўзбекистон Республикаси Президентининг 2010 йил 15 декабрдаги

ПҚ-1442-сон «2011–2015 йилларда Ўзбекистон Республикаси саноатини ривожлантиришнинг устувор йўналишлари тўғрисида»ги Қарори ва 2017 йил 17 февралдаги ПҚ-2789-сон «Фанлар академияси фаолияти, илмий тадқиқот ишларини ташкил этиш, бошқариш ва молиялаштиришни янада такомиллаш-

4

тириш чора-тадбирлари тўғрисидаги»ги Қарори ҳамда мазкур фаолиятга тегишли бошқа меъерий-ҳуқуқий ҳужжатларда белгиланган вазифаларни амалга оширишга ушбу диссертация тадқиқоти муайян даражада хизмат килади.

Тадкикотнинг республика фан ва технологиялари ривожланиши устувор йўналишларига мослиги. Мазкур тадкикот республика фан ва технологиялар ривожланишининг III. «Энергетика, энергоресурс тежамкорлиги, транспорт, машина ва асбобсозлик, замонавий электроника, микроэлектроника, фотоника ва электрон асбобсозлиги ривожланиши» нинг устувор йўналишига мувофик бажарилган.

Муаммонинг ўрганилганлик даражаси. Бугунги кунга қадар илмий тадқиқотчилар ва ишлаб чиқувчиларнинг изланишлари яримўтказгич ва металл матрицаларда наноўлчамли тузилмалар яратиш ва уларнинг физик кимèвий хусусиятларини ўрганишга қаратилган, Хитой ва Америка олимлари W.S. Cho, J.Y. Kim, J.M. Gallego, R. Miranda томонидан Si(111) сиртида ўта юпқа (1-2 моноқатлам) Со пленкасининг ўсиш жараèлари ўрганилган, Веі Li, Jianlin Liu, U.Starke, W.Weiss, М.В. Гомоюновлар Со ни Si га қаттиқ фазали ўтқазишда Со ва Si атомлари орасида кимèвий алоқа ва CoSi₂ наноқатлами ҳосил бўлиши ва улар асосида турли хил асбоблар композити яратишда фойдаланиш имкониятлари тадқиқ қилинган.

Ўзбекистон олимлари, жумладан Б.Е.Умирзаков ва унинг ходимлари томонидан биринчи марта кичик энергияли ион бомбардимон усулини қўллаган холда Pd, Si, GaAs ва CaF_2 сирт сохалари бир ва кўп компонентли наноўлчамдаги кристалл фазалар ва пленкалар олинган.

Тадкикотнинг диссертация бажарилган илмий-тадкикот муассасасининг илмий-тадкикот ишлари режалари билан боғликлиги. Диссертация тадкикоти Тошкент давлат техника университети грантлар тематик режасининг K-4-001-сон «Кремний асосида кўпкатламли нано ўлчамли МДЯ ва ЯДЯ гетероструктуралар олиш технологиясини ишлаб чикиш» (2012–2014), Ф2–41-сон «Турли хил табиатли материалларни ион имплантация килинганда содир бўладиган чангланиб кетиш, атомларнинг юзага кириши, наноўлчамли тизимлар ва зўриккан катламларининг хосил бўлиш жараенларини назарий ва экспериментал ўрганиш» (2012–2016), А-4-7-сон «Микро ва оптоэлектроника, шунингдек қуеш энергетикаси асбоблари учун кремний ва арсенид галий монокристалл пленкалари сирт ости қатламларида гетероэпитаксиал наноўлчамли тузилмаларни синтез қилиш технологиясини ишлаб чикиш» (2015–2017) фундаментал лойихалари доирасида бажарилган.

Тадкикотнинг максади эпитакция ва ион имплантация усуллари билан

Мо ва Si монокристаллари асосида наноўлчамли тузилмалар ва кўп қатламли тизимлар олиш, уларнинг шаклланиш қонунларини ўрганиш, физик механизмларини очиб беришдан иборат.

Тадқиқотнинг вазифалари:

хар хил энергиялар (E_0 =0,5–5 кэB) ва дозаларда (D= 10^{14} – 10^{17} см⁻²) Ba^+ ва Nb^+ ионлари имплантация қилинган Mo(111)нинг сирти таркиби, электрон ху

5

сусиятлари, микротузилмаси ва морфологиясини ўрганиш;

нано ўлчамли фазаларнинг хосил бўлишида молибденнинг эмиссион хусусиятларига таъсирини бахолаш;

 Na^+ и Co^+ ионлари билан бомбардимон қилиш ва кетма-кет қиздириш èрдамида Si(111)нинг сирт ости соҳасида $MeSi_2$ боғланишли наноўлчамли фазалар ҳосил бўлишининг асосий механизмлари ва қонуниятларини ўрганиш. Сирт ости қатламининг турли чуқурликларида шаклланган $MeSi_2$ фазаларининг қопланиш даражаси ва тақиқланган зона кенглигини ўрганиш усулини ишлаб чиқиш;

Si сиртини O_2^+ ионлари билан бомбардимон қилиш натижасижада SiO_2 нанопленкасининг хосил бўлиш қонуниятларини ўрганиш. ЭҚЭС, УБЭС ва еруғликнинг пленкалардан ўтиши усулларидан фойдаланилган холда хар хил қалинликлардаги SiO_2 нанопленкасининг энергетик зоналари параметрларини аниклаш;

юпқа оксид қатлами билан қопланған Si ни қисман зарядланған металлар билан чанглатишнинг ўтиш қатламлари шаклланишига таъсирини ўрганиш; Si ни керакли энергияда Me⁺ (Me–Na ва Co) ионлари балан имплантация қилиш ва кейинги қиздириш асосида MeSi₂/Si/MeSi₂/Si икки қатламли тизимини олиш усулини ишлаб чиқиш;

Si ни орқа томондан (таглик томондан) легирлаш. Si ни таглик томондан бир хил легирлашнинг самарали режимини аниқлаш.

Тадқиқотнинг объекти сифатида кенг диапазондаги энергия (0,2-40 кэВ) ва дозалар (D= 10^{14} – 10^{17} см⁻²) билан ионлар имплантация қилинган Мо ва Si намуналаридан фойдаланилган.

Тадқиқотнинг предмети металлар ва яримўтказгичлар сиртида ва сирт ости қатламларидаги нанокристалл ва нанопленкалар шаклланишининг қонуниятлари ва физикавий механизмлари ҳисобланади.

Тадқиқотнинг усуллари. Диссертацияда оже-электрон спектороскопия (ОЭС), катта энергияли электронлар дифракцияси (КЭЭД), растрли электрон микроскопия (РЭМ), ультрабинафша нурланишнинг фотоэлектронлар спектроскопияси (УБЭС), эластик қайтган электронлар спектроскопияси (ЭҚЭС), электронларнинг характерли энергия йўқотиш спектроскопияси (ЭХЭЙС), атом-кучланишли микроскопия (АКМ), ўтувчи еруглик нурларининг спектроскопияси каби тадқиқот усуллари қўлланган.

Тадқиқотнинг илмий янгилиги қуйидагилардан иборат:

Nb+ ионларини имплантация қилиш ва кейинги қиздиришда Мо нинг

сирт ости қатламларида Nb+Mo туридаги интерметал ҳосил бўлиши Мо Ферми сатҳининг қуйи қисмида ниобийнинг 4d электронлари зонасини ҳосил бўлиши ва натижада Мо валент электронларининг ҳолат зичлиги ўзгариши билан боғлиқлиги очиб берилган;

Мо га Ва⁺ионлари имплантация қилинганда интерметалл боғланиш ҳосил бўлмаслиги, аммо чиқиш ишининг камайиши ва юза ости қатламлари атом зичлигининг ошиши натижасида иккиламчи ва фотоэлектронларнинг эмиссия эффективлиги 2 ва ундан ортиқ ошиши экспериментал аниқланган.

6

Si сирт ости қатламларида ион имплантация ва кейинги қиздириш жараèнида ${\rm MeSi}_2$ нинг наноўлчамли фазалари ва қатламлари шаклланишининг асосий қонуниятлари аниқланган, шунингдек уларнинг ўлчамлари ва энергетик зона параметрларини баҳолашнинг ўтаèтган èруғлик интенсивлиги ўзгаришига асосланган усули ишлаб чиқилган;

Si сиртига O_2^+ ионларини имплантация қилиш усули билан турли қалинликлардаги (d \approx 20–100Å) тақиқланган зона кенглиги 8,5–9 эВ бўлган бир жинсли SiO_2 нинг поликристалл нанопленкаси олиш технологияси ишлаб чиқилган;

чангланаетган металл (Al) атомлари оқими таркибида бир неча фоиз тезлашган ионлар (E_0 =1–2 кэВ) мавжудлиги Si сиртидаги окис пленканинг тулиқ бузилишига, утиш қатлами хосил булишига, кремний тагликларда металлар адгезияси ошишига ва контакт электр қаршилигининг кескин камайишига олиб келиши асосланган;

умумий қалинлиги 40–50 нмдан ошмайдиган наноўлчамдаги икки қатламли $MeSi_2/Si/MeSi_2/Si$ тизимини ҳосил қилиш усули ишлаб чиқилган ва сиртдаги $CoSi_2$ плѐнкасининг қалинлиги 3–5 нм, сирт остидаги плѐнка қалинлиги эса 10–12 нм, $MeSi_2$ қатламлари орасидаги Si плѐнкасининг қалинлигини 10–20 нм ни ташкил этиши кўрсатилган.

Тадқиқотнинг амалий натижалари қуйидагилардан иборат: Si сиртида ҳар ҳил қалинликларда MeSi₂ туридаги наноўлчамли фазалар ва икки қатламли MeSi₂/Si/MeSi₂/Si тизимни олиш усули ишлаб чиқилди; Si ни таглик томондан легирлаш усули таклиф қилинди. Олинган натижалар асосида микро-, нано- ва оптоэлектроника асбобларни ишлаб чиқиш бўйича илмий таклифлар берилди.

Тадкикот натижаларининг ишончлилиги замонавий ўлчаш усуллари ва натижаларни қайта ишлашда бир бирига боғлиқ бўлмаган тажрибалар статистикаси, ҳамда тоза Мо ва Si лар бўйича олинган тажриба натижалари бошқа муаллифлардан томонидан олинган илмий натижаларга мос келиши билан изоҳланади.

Тадқиқот натижаларининг илмий ва амалий ахамияти. Тадқиқот натижаларининг илмий ахамияти турли табиатли материаллар сиртида ва сирт ости қатламларида ҳосил қилинган наноўлчамдаги структуралар

шаклланиш механизми ва электрон хусусиятларини тушунтириш имконини бериши, улар наноўлчамли гетероэпитаксиал структуралар хосил килиш назарияси ва бундай структураларда зарядланган зарраларнинг харакатчанлиги назарияси ривожланишининг фундаментал базаси бўлиши мумкинлиги билан изохланади.

Тадқиқот натижаларининг амалий аҳамияти таглик томондан Si ни бир жинсли легирлаш, Si сиртида SiO_2 нинг текис тақсимланган наноўлчамдаги фазаси ва нанопленкасини олиш, ҳар хил турдаги МОП, МДП, ПДП тизимларни ишлаб чиқиш қаттиқ жисм электроникаси, жумладан, қуѐш энергетикаси асбоблари учун контактлар ва тўсиқли қатламлар ҳосил қилишга хизмат қилади.

7

Тадқиқот натижаларининг жорий қилиниши. Мо ва Si сиртида ва сирт қатламлари соҳасида наноўлчамли фазалар ҳосил бўлиши бўйича олинган натижалар асосида:

Мо ва Si сиртида ва сирт қатламлари соҳасида наноўлчамли фазалар ҳосил бўлиши бўйича олинган натижалар ОТ-А3-56 «Юқори марганец силициди пардаси асосида инфракизил нурни термоэлектрик ўзгартириш ва иссиклик нурини ўтаэффектив холда совутилмай қайд этувчи приемниклар яратиш» ва Ф — 2-31 "Наноўлчамли металлар силицид пленкаларни структураси ва физик хоссаларини ўрганиш ва термосезгир структуралар хосил қилиш" давлат грантларини бажаришда фойдаланилган (Ўзбекистон Республикаси Фан ва технология агентлигининг 2017 йил 19 июлдаги ФТА 0211/360-сон маълумотномаси). Илмий натижанинг қўлланиши NbMo қотишмаси термоядро реакторларининг ички деворларида ишлатиладиган молибденнинг силликлигини яхшилаш, дислокацияларни камайтириш ва ташқи таъсирларга чидамлилигини ошириш имконини берган;

Si сирт ости қатламларида $MeSi_2$ нинг наноўлчамли фазаси ва қатлами шаклланишининг асосий қонуниятлари ўрганилган ва уларнинг ўлчамлари хамда энергетик зона параметрларини бахолашнинг эффектив усули асосида электрон қурилма яратилган (VIII Республика Инновацион ғоялар, технологиялар ва лойихалар ярмаркаси катологи "Электрон техника ускуналари хароратини ўлчовчи ва сақлаб турувчи электрон қурилмаси»). Ишлаб чиқилган қурилма энергияни тежаш имконини берган.

Тадқиқот натижаларининг апробацияси. Мазкур тадқиқот натижалари 19 та халқаро ва 3 та республика илмий-амалий анжуманларида муҳокамадан ўтказилган.

Тадкикот натижаларининг эълон килинганлиги. Диссертация мавзуси буйича жами 34 та илмий иш чоп этилган, шулардан Узбекистон Республикаси Олий аттестация комиссиясининг докторлик диссертациялари асосий илмий натижаларини чоп этиш тавсия этилган илмий нашрларда 10 та макола нашр этилган.

Диссертациянинг тузилиши ва хажми. Диссертация таркиби кириш,

тўртта боб, хулоса, фойдаланилган адабиетлар руйхатидан иборат. Диссертациянинг хажми 135 бетни ташкил этади.

ДИССЕРТАЦИЯНИНГ АСОСИЙ МАЗМУНИ

8

Кириш қисмида ўтказилган тадқиқотларнинг долзарблиги ва зарурияти асосланган, тадқиқотнинг мақсади ва вазифалари, объект ва предметлари тавсифланган, республика фан ва технологиялари ривожланишининг устувор йўналишларига мослиги кўрсатилган, тадқиқотнинг илмий янгилиги ва амалий натижалари баѐн қилинган, натижаларнинг илмий ва амалий аҳамияти очиб берилган, тадқиқот натижаларини амалиѐтга жорий қилиш, нашр этилган ишлар ва диссертация тузилиши бўйича маълумотлар келтирилган.

Диссертациянинг «Металл ва яримўтказгичлар асосида истикболли наноўлчамдаги структуралар олиш муаммолари ва уларнинг физик хусусиятларининг ўрганилиш холати» деб номланган биринчи бобида Мо ва Si асосида тартибли жойлашган наноструктуралар хосил килиш ва кўп катламли наноўлчамдаги гетероэпитаксиал пленкалар хамда уларнинг физик кимевий хусусиятларини ўрганишга бағишланган адабиетлар тахлили еритилган. Асосий ахамият ион бомбардимон усулидан фойдаланиш оркали олинган структураларга ва уларнинг хосил бўлиш механизмига каратилган. Катор адбиетлар тахлили шуни кўрсатадики, квант нукталар таркиби, ўлчами ва шаклини ўзгартириш оркали структураларнинг физик хоссалари ва электрон хусусиятларини назоратли бошкариш имкони мавжуд.

Хозирги вактга кадар турли табиатли материаллар сиртида физик хусусиятлари назоратли бошқариладиган нанообъектлар хосил қилиш тўгрисида ишончли тадкикот натижалари мавжуд эмас. Икки катламли наноўлчамли силицид тизимларини яратиш бўйича тадқиқотлар олиб борилмаган. Ярим ўтказгичларнинг турли чукурликларида наноўлчамдаги фазалар шаклланиш механизми ҳақида маълумотлар учрамайди. Назарий ва замонавий амалий тадкикотларни тахлил килиш асосида физик электрониканинг наноўлчамли структуралар ОЛИШ ва уларнинг хусусиятларини ўрганиш билан боғлиқ мавжуд долзарб муаммолар диссертациянинг мақсади ва вазифаларини белгилашга асос бўлди.

Диссертациянинг «Наноўлчам тизимли материалларни олиш ва қурилмасининг хусусиятлрини ўрганиш базавий принциплари» деб номланган иккинчи бобида наноўлчамдаги структуралар физик хусусиятларини ўрганишга бағишланган уларнинг экспериментал қурилмалар еритилган. Тадқиқот объекти сифатида Мо ва Si монокристаллари танланган. Ион бомбардимон қилиш, қиздириш ва асосий тажрибалар ўта юқори вакуумли универсал қурилмада амалга оширилган. Металл ионлари энергияси E_0 0,5 дан 40 эВ гача ўзгартирилади, Ar^+ ва O_{2^+} учун энергия $E_0=0,5-5$ кэB ораликда ўзгаради. Намунанинг элемент ва кимений таркиби оже-электрон спектроскопия (ОЭС) усулида ўрганилди, энергетик зоналар параметрлари ва валент электронлар зичлиги холати УБЭС, ЭКЭС ва ўтаетан еруглик интенсивлигини ўлчаш усуллари оркали аниқланди. Сиртнинг микрорельефи ва панжара параметри тўғрисидаги маълумотлар «JEOL» растрли электрон микроскопда (РЭМ), «ЭМР-102» катта энергияли электрон дифрактометр, XIA-200 атом кучланишли

9

микроскоп (АКМ) ва UV-1280 спектрофотометр каби стандарт курилмаларда олинган.

Диссертациянинг «Молибден ва кремнийларнинг сиртида яратилган пленкалар структура ва таркиби хусусиятлари» деб номланган учинчи бобида молибден ва кремнийларнинг сиртида яратилган наноўлчамли структура ва пленкалар таркиби ва электрон хусусиятлари ўрганилган. Олинган натижаларга кўра Мо га Nb⁺ионлари унча юқори бўлмаган дозаларда (D≤10¹⁵ см⁻²) имплантация қилинганда юзада ва унга якин катламларда Nb+Mo туридаги нанокластерли интерметаллид фазалар хосил бўлади. Шунинг учун фотоэлектронлар спектрида Ферми сатхидан пастда 0,5 эВ ва 4,3 эВ энергияли қушимча чуққилар пайдо булади. Ниобийнинг 4d электронлари билан бўлган бу сатхлар ўз навбатида ўзларининг сатх ости сатхларини яратади ва улар молибден тақиқланган зонасининг ГР симметрияси йўналишида жойлашади. Юкори дозаларда Nb⁺ $(D≈D_{т\lor m}≈8·10^{16}~cm^{-2})$ Мо сирт юзасида ~30–40 Å қалинликдаги юпқа Nb+Мо интерметаллид қатлами хосил бўлади. Бу холда Мо нинг чиқиш иши ва эмиссион хусусияти сезиларли даражада ўзгармайди. 1-расмда Ва ионлари 6.10^{16} cm⁻² дозада (тўйиниш билан $E_0=1$ кэВ энергияда, имплантацияланган ва турли хароратларда қиздиришдан сўнг олинган Мо(111)нинг фотоэлектрон спектри келтирилган. Хар бир хароратда 30 дақиқа давомида қиздирилган. Ион имплантациясидан сўнг энергетик тақсимот эгри чизиғи остидаги майдонча, яъни фотоэлектронлар квант чикиши тахминан 2 маротаба ортган (2-эгри чизик), спектр кенглиги $\Delta E 1,5-$ 2 маротаба ортган, Мо га тегишли чукки интенсивлигининг кескин камайган ва ўз навбатида Ва га тегишли бўлган чўккилар пайдо бўлган.

ОЭС натижаларига кўра ион имплантациядан сўнг

сиртда ва сиртдан 40-50 Å чуқурликкача Ва концентра цияси 45-50 ат.% ни ташкил этади, лекин Мо ва Ва атомлари ўзаро кимевий боғланиш хосил қилмайди. Бундай боғланиш Т~1300 К хароратгача қиздирилганда, яъни Ва атомларининг тўлик буғланиши рўй берганда хам

содир бўлмайди.

холатда Мо сирт қатламида θ =40–50 Å қалинликда Мо+Ва механик котишмасидан иборат пленка шаклланади. Фотоэлектрон

1 – Мо (111), 2 – Мо (111), Ва $^{+}$ ионлари билан Шуни айтиш мумкинки, бундай E_0 =1 кэВ ва D=6·10¹⁶ см⁻² дозада имплантация қилинган, 3 – Ва⁺ионлари билан имплантация килинган Мо Т=1000 К қиздирилган.

1-расм. h∨=10 эВ энергияда олинган фотоэлектрон спектрлар

10

спектрдаги [Mo+Ba] га тегишли чўккиларнинг жойлашиши «тоза» Мо ва Ва чўққиларидан озгина (0,1-0,2 эВ) фарқланишига сабаб Ва атомлари киритилгани натижасида Мо панжарасида деформациянинг вужудга келиши тартибсизланиши электронларнинг валент тақсимланишига олиб келишидадир деб қараш мүмкин.

1-жадвалда тоза ва ионли легирланган Мо(111) нинг асосий эмиссион параметрлари келтирлган. Жадвалдан куринадики Ва⁺ионлари имплантация қилингандан кейин hv=5,5 эВ бўлганда фотоэлектронларнинг квантли чикиши 8 марта оптимал температурада киздирилгандан кейин эса 6 марта ошади, бу холда σ_{m} нинг киймати 1,5-2 марта ошади. Nb^{+} ионлари имплантация килинганда Мо нинг эмиссион эффективлиги, углероднинг туфайли, (1,2-1,5)марта) камаяди. адсорбцияси сезиларли температурада қиздирилгандан кейин еф нинг бироз камайиши (~ 0,1эВ), от ва Y ларнинг (5÷6 % га) ошиши кузатилади.

1-жадвал ${
m Nb}^{+}$ ва ${
m Ba}^{+}$ ионлари имплантация қилинган Мо(111) учун е ϕ , ${
m Y}$ ва σ нинг кийматлари

Параметрлари	Mo(111)	Nb ⁺ → Mo, E ₀ = $3 \text{ k} \ni B$, D = $8 \cdot 10^{16} \text{cm}^{-2}$		$Ba^+ \rightarrow Mo, E_0 = 1$ кэB, $D = 6 \cdot 10^{16} \text{см}^{-2}$		
		T = 300 K	T= 1400 K	T = 300 K	T=1100 K	
еф, эВ	4,51	4,8	4,4	2,6	2,2	

$Y \cdot 10^{-6} (hv = 5.5 9B)$	6,2	4,1	6,5	50	35
$\sigma (E_p^* = 500 9B)$	1,4	1,2	1,5	2,8	2,1

^{*}Е_р – бирламчи электронлар энергияси.

Электронлар спектроскопияси ва микроскопияси комплекс усулларидан фойдаланиб Si да ион имплантация (Co $^+$, Na $^+$, O $_2^+$) ва чанглатиш (Cu) орқали хосил қилинган наноўлчамли фазаларнинг таркиби, структураси ва электрон хусусиятлари ўрганилди. Айрим холларда натижаларни солиштириш учун диэлектриклар NaCl ва CaF $_2$ сиртида хосил қилинган наноўлчамдаги фаза хусусиятлари келтирилган. Бу пленкалар кўп қатламли гетероструктуралар олиш, оптик ва электрон қурилмалар, қуèш элементлари ва фотосезгир асбобларда кенг қўлланилади.

Биринчи марта Si нинг турли хил чукурликларида олинган MeSi₂ нанокристалл ва нанокатламлари такикланган зонаси кенглиги ўтаетган еруғликнинг интенсивлигини ўлчаш усули ердамида аникланди. 2-расмдан кўринадики, еруғлик интенсивлигининг кескин камайиши «тоза» Si учун $hv\sim1,0$ эВ энергиядан бошланади, $CoSi_2$ пленкаси учун эса $hv\sim0,5$ эВ энергиядан бошланади (1- ва 3-эгри чизиклар). Бу эгри чизикларнинг фотонлар энергияси ўкига экстрапояцияси Si ва CoSi2 пленкалари учун Eg кийматлари мос равишда $\sim1,1$ эB ва 0,6 эB га тенг эканлигини кўрсатади.

Si да CoSi₂ нанокристаллари хосил қилинган холда èруғлик интенсивлигининг кескин камайиши иккита қийматда: 0,8 эВ ва 1 эВ намоèн

11

бўлади (2-расм, 2-эгри чизиқ). Биринчи кескин камайиш CoSi₂ нанокристаллари билан қопланган майдонларда ѐруғликнинг ютилиши билан боғлиқ бўлса, иккинчи камайиш кремнийнинг CoSi₂ нанокристаллари билан қопланмаган майдонларида ѐруғлик ютилиши билан боғлиқ. Шунга асосан диаметри ~25−30 нм бўлган CoSi₂ нанористалли учун E_g қиймати ~0,85−0,9 эВ га тенг дейиш мумкин. Демак, нанокристалларнинг тақиқланган зона кенглиги нанопленкаларникига қараганда сезиларли катта бўлар экан. 2-эгри чизикдан Si сиртининг CoSi₂ нанофазалари билан қопланиш даражасини баҳолаш мумкин. Бу қийматни θ ≤1 ҳол учун:

$$Q^{2}=1-\left(1\right)$$

$$I \qquad Si$$

формула èрдамида аниқлаш мумкин. 2-расмдаги 2-эгри чизиқдан Si+HK $CoSi_2$ ҳолида $hv\approx0.9$ эB, I_{CoSi2}/I_{Si} нисбат эса ~0.55 , θ эса 0.45 қийматларни ташкил этиши кўриниб турибди ва бу қиймат ОЭС ҳамда РЭМ усулларида

олинган натижаларга жуда яқин.

Si ва NaCl сиртида Cu пленкаси ўстирилишининг бошланғич холатлари (d≈0,2-5 монокатлам) ўрганилган. d≤1 бўлганда пленканинг оролчали ўсиши, d≈1-5 моноқатлам оралиқда нотекис ўсиши аниқланди. Си наноплекаси 1-1,5 моноқатламда тор зонали

 $\frac{I_{CoSi_2}}{I_{Si}}$ I-Si(111) 2 - HK CoSt; 0.4 3 - HII CoSi₂

1 – Si (111); 2 – Si да CoSi₂ нанокристалли билан; 3 – Si да CoSi₂ нинг 2,5–3,0 нм қалинликдаги нанопленкаси бор. 2-расм.

Утган еруғлик интенсивлигининг фотонлар энергиясига боғликлиги

шакллана бошлаганлигини кўр 4 моноқатламда электронларнинг характерли энергия йўқотиш чўққилари массив Си пленкасига тўлик мос келади.

 O_2^+ ионлари билан имплантацияланган нанопленкаси шаклланишининг мухим жихатлари ўрганилган. hv=10,8 ва энергияларда Si (111)нинг ва SiO₂/Si 21.2 эΒ фотоэлектрон спектрларида максимум-минимум нозик тузилмалари ажралиб туради (4-расм). Si сиртида асосий максимумлар мавжудлиги Si нинг 3р ва 3s валент электронлар ҳамда Si сиртида ғалаенланган электронлар ҳолати

0,6 эВ) эга бўлиши кўрсатилди. 3-расмда Си атомлари билан турли қалинликларда қопланган NaCl учун электронларнинг характерли энергия йўқотиши усулида олинган спектри келти рилган. Си га хос бўлган плаз монли тебранишлар ($\hbar \omega_s$ ва $\hbar \omega_v$) чўққиси бўлган d~1-1,5 моноқат ламдан бошланади ва бу пленка сатади. Аммо $\hbar \omega_s$ ва $\hbar \omega_v$ чўққилар жойлашиш холати катта

энергия томонга бироз силжиган ва

уларнинг интенсивликлари массив

Си никидан кичик бўлади. $d_{min} \ge 3-$

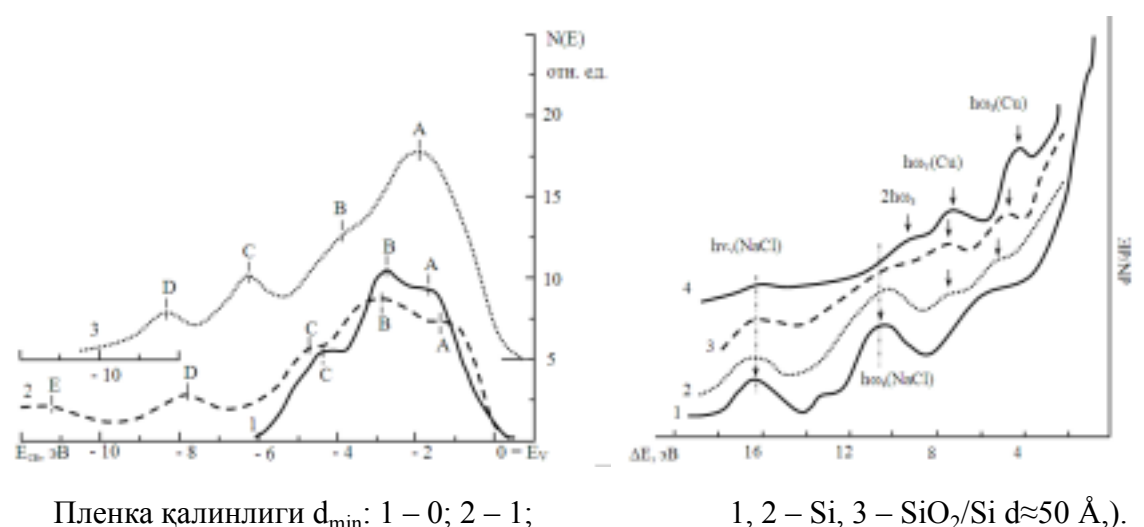
яримўтказгич хусусиятига (Е_{о=}0,5-

Si сирт юзасида (111) нанопленкаси

12

билан тушунтириш мумкин. Кремний оксидида легирловчи элемент ва таглик атомлари электрон холатларининг гибридлашиши содир бўлади ва бу ғалаенланган электронлар чуққилари шакли ва жойлашишининг узгаришига олиб келади. 5-расмда Si га O_2^+ ионларини E_0 =3 кэВ (D=8· 10^{16} см- 2) энергияда киритиб, кейин T=1100 К да қиздириш йўли билан олинган 50 Å қалинликдаги SiO₂ пленкасинининг АКМ ва РЭМ тасвирлари келтирилган.

Бу жараенда силлик сиртли (нотекислиги 8–10 Å дан кичик) бир текис



Пленка қалинлиги d_{min} : 1-0; 2-1; 3-2; 4-4 моносқатлам.

3-расм. Турли қалинликлардаги Си атомлари ўткқазилган NaCl ХЭЙЭ спектрлари.

4-расм. Ультра бинафша нурларнинг hv=10,8 эВ (1) ва 21,2 эВ (2,3) энергияларда қайд этилган фотоэлектрон спектрлари.

яхлит пленка шаклланганлиги кўриниб турибди. Хусусан, Si га кислородни термик ўтказиш йўли билан олинган SiO_2 пленкаси сирти нотекислиги 80-100 Å ни ташкил этади. SiO_2/Si (111) холатда эса металл силицидлардан фаркли равишда эпитаксиал ўсиш кузатилмайди, поликристалл тузилма хосил бўлди. Расмдаги (5-б юкорисидаги расм) КЭЭД тасвиридан SiO_2

пленкаси алохида-алохида монокристалл блоклардан ташкил топган, аммо блокларнинг чегара ориентациялари бир-бирига мос келмайди, деб тахмин килинади.

2-жадвалда фотоэлектронлар спектрида чўқкиларнинг шаклланиш механизмлари, энергетик зоналар параметрлари хамда Si ва SiO $_2$ кристалл панжара параметрлари келтирилган. Жадвалдан кўринадики, SiO $_2$ нанопленкасининг тақиқловчи зонаси кенглиги \sim 9 эВ ни ташкил этади ва у катта қалинликдаги SiO $_2$ монкристаллининг қийматига мос келади. $_2$ -жадвал

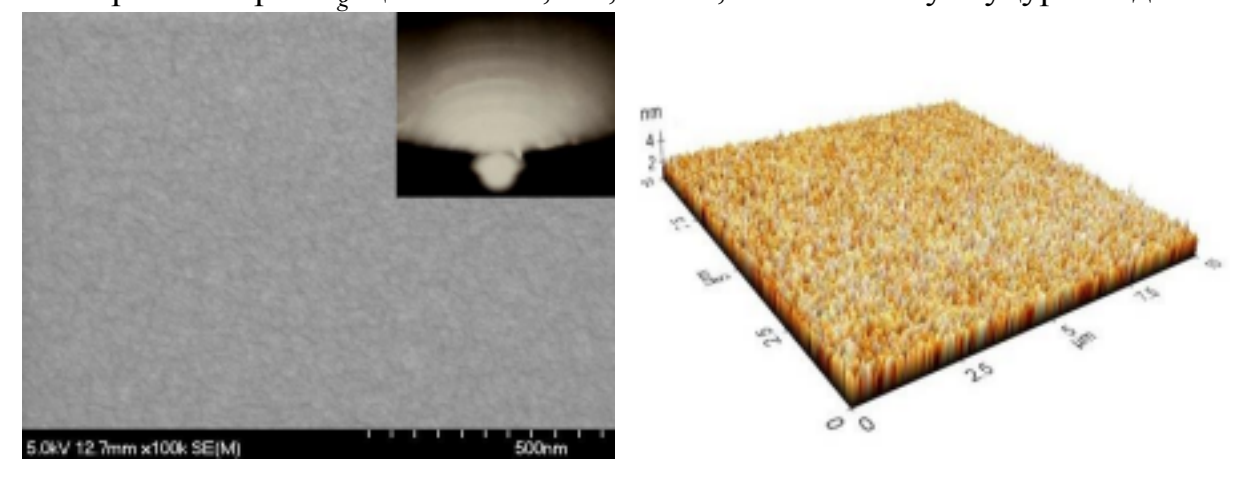
Si ва SiO₂ пленкасининг зона ва кристал панжара параметрлари

Тадқиқ	Чўққилар				Соха параметрлари, эВ				a, Å
от объект и	A	В	С	D	E_V	E_{F}	E_{g}	χ	
Si	3р + ПС*	3p	3s+3p	3p	5,1	4,7	1,1	4	5,43
SiO ₂	2p(O) + 3p(Si)	2p(O) + 3p(Si)	2p(O) + 3p(Si)	2p(O) + 3s(Si)	9,1	4,5	8,9	0,1- 0,2	Поли кристалл

Тўйиниш дозасидан бироз камрок $D=8\cdot 10^{15}-2\cdot 10^{16}$ см⁻²дозаларда SiO_2 пленкасида зичлиги $10^{10}-10^{11}$ см⁻² бўлган текис тақсимланган Si нанофазалари хосил бўлиши аниқланди.

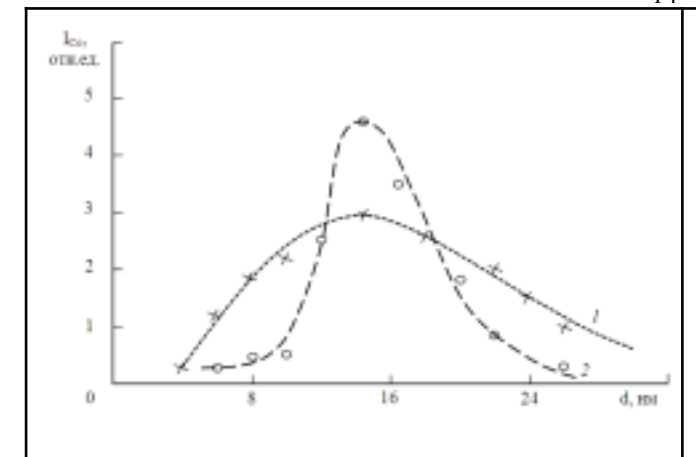
Диссертациянинг «Кремний сиртида ва сирт ости сохаларида икки қатламли гетероэпитаксиал тузилмалар яратишда ион имлантациянинг қўлланилиши» деб номланган тўртинчи бобида Si нинг турли чукурликларида ҳосил қилинган наноўлчамли $MeSi_2$ фазалари ҳамда икки қатламли $CoSi_2/Si/CoSi_2/Si$, $SiO_2/Si/CoSi_2/Si$ эпитаксиал гетеротизимларини олиш бўйича тадқиқот натижалари келтирилган.

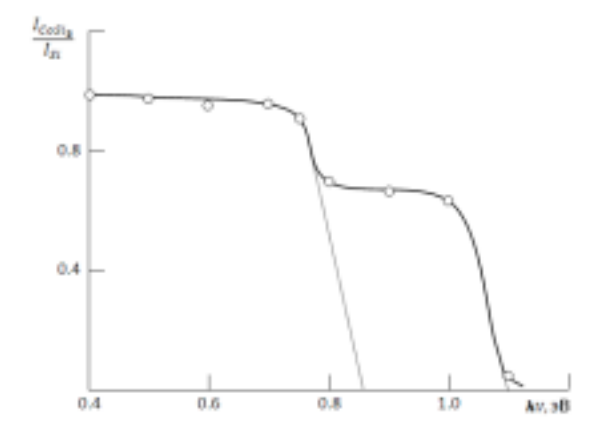
Si да ион имплантацияси усулида MeSi₂ (Me-Co ва Na) наноўлчамли фазалари 1,0 дан 40 кэВ гача энергия интервалида унча юкори бўлмаган нурланиш дозаларида (D= $5 \cdot 10^{13} - 5 \cdot 10^{15}$ см⁻²) ва кейинги қиздириш билан олинган. 6-расмда $\mathrm{Co}^{\scriptscriptstyle +}$ ионлари билан $E_0 = 15$ кэ B энергияда $D = 10^{15}\,\mathrm{cm}^{\scriptscriptstyle -2}$ дозада легирлангандан ва 30 дакика давомида *T*≈900 К хароратда кейин қиздирилгач, Si (111)нинг хар хил чуқурликларда Со (E=765 эВ) оже чўққиси интенсивлиги ўзгариши келтирилган. Иккала холатда хам Со атомларининг максимал тақсимоти 15–16 нм қалинликда жойлашади. Қиздиришлардан сўнг Со атомлари концентрацияси максимум сохада ортганлиги ва эгри чизик камайганлигини $I_{Co}(h)$ кенглиги сезиларли таксимот кузатишимиз мумкин. Бу майдончаларда CoSi₂ нинг нанокристалл фазалари (~15–16 нм қалинликда) пайдо бўлди. Энергетик нуқтаи назардан айтиш мумкинки, бу фазалар сиртий фазалардан фаркли равишда сферик шаклга эга бўлади. I_{CoSi2}/I_{Si} ва hv орасидаги боғланиш ўрганилганда $CoSi_2$ «ҳажмий» нанокристаллари E_g қиймати 0,8–0,85 эВ, Si нинг шу чуқурлигида CoSi_2



а – АКМ тасвири, б – РЭМ тасвири (юқоридаги расмда КЭЭД тасвири). 5-расм. d \sim 50 Å қалинликдаги SiO₂/Si пленкаси сиртининг АКМ ва РЭМ тасвирлари

нанокристалларининг нисбий майдончаси – 0,25–0,3 ни ташкил этиши аникланди (7-расм).





I – қиздиришгача; 2 – Т=900 К да қиздиришдан сўнг.
 6-расм. Со+ ионлари билан Е0=15
 эВ энергияда D ≈ 1015 см-2 дозада мплантация қилинган Si да Со атомларининг h чукурлик бўйича таксимоти

7-расм. Юзаси остида 15—16 нм чукурликда жойлашган CoSi₂ нанокристалларига эга бўлган Si дан ўтаетган еруғлик интенсивлигининг фотон энергиясига боғликлиги.

Si(111)нинг турли икки хил чуқурлигида ион имплантацияси ва кейинги қиздириш йўли билан $MeSi_2$ нанокристаллини хосил қилишнинг оптимал режимлари 3-жадвалда келтирилган. Co^+ и Na^+ ионлари билан E_0 =30 кэВ энергияда имплантацияланган Si да қиздиришларданг сўнг 26—30 нм чукурликда нанокристалл фазалар шаклланганлиги кўринади. D= $5\cdot10^{14}$ см⁻² дозада нанокристаллнинг ўртача диаметри 5—6 нм, D= 10^{15} см⁻²дозада эса 10—12 нм ни ташкил қилади. Энергия E_0 =15 кэВ бўлганда нанокристалл фазалар 13—15 нм чукурликда шаклланади, хосил бўлган фазанинг диаметри E_0 =30 кэВ энергиядаги фаза диаметридан жуда кам фарқланади.

3-жадвал Si(111)нинг хар хил чукурликларида MeSi₂ нанокристалларини хосил

<u> </u>	<u>иладиган и</u>	он импла	інтация в	ва қиздир	<u>ишнинг ог</u>	ітимал р	режимла ј	<u>ри</u>
Ионлар			<i>E₀</i> =30 кэВ					
	D, см ⁻²	T, K	d, нм	h, нм	D, см ⁻²	T, K	d*, нм	h**, нм
Co ⁺	$ \begin{array}{c} 5 \times 10^{14} \\ 10^{15} \\ 5 \times 10^{15} \end{array} $	1000 1000 1200	6–8 10–12 22–25	15–16	$ 5 \times 10^{14} \\ 10^{15} \\ 5 \times 10^{15} $	1000 1000 1100	- 9–10 20–25	28–30

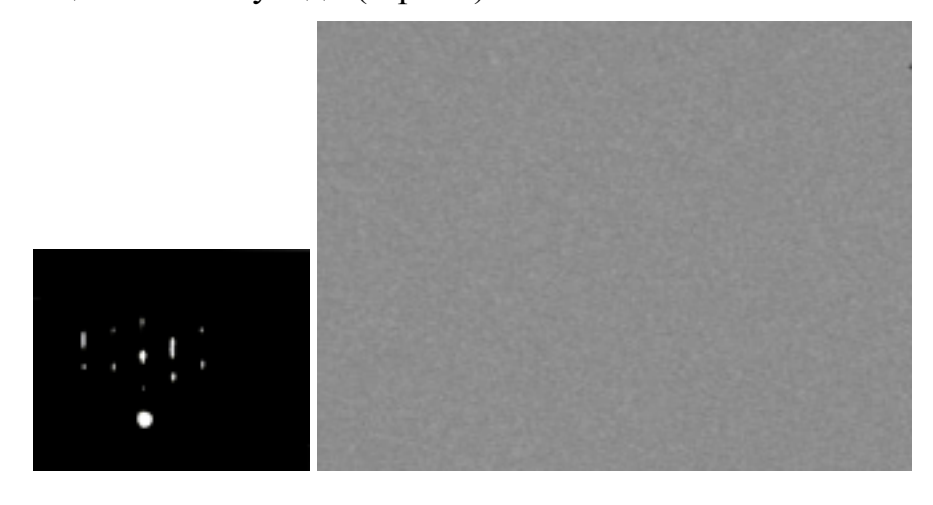
Na ⁺	$ 5 \times 10^{14} \\ 10^{15} \\ 5 \times 10^{15} $	1000 1050 1100	5–6 12–14 24–26	13–15	$ 5 \times 10^{14} \\ 10^{15} \\ 5 \times 10^{15} $	1000 1100 1100	- 10–12 -	26–28
-----------------	---	----------------------	-----------------------	-------	---	----------------------	-----------------	-------

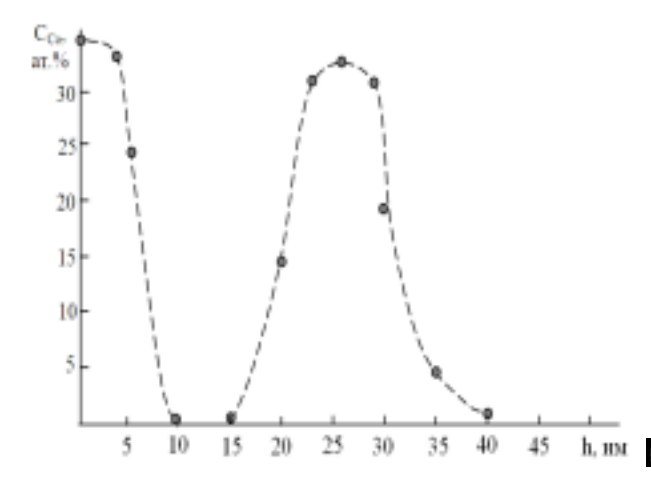
 d^* – нанокристалл диаметри, h^{**} – нанокристалл марказидан сиртгача бўлган масофа.

Тадқиқот натижалари шуни кўрсатдики, $MeSi_2$ нинг наноўлчамли фазасини олишнинг самарали режимлари куйидагича: энергия интервали 1 дан 40 кэВ гача; ионлар дозаси $D\sim10^{14}$ дан 10^{15} см⁻²гача, кўшни чукурлик ларда фазалар яратиш учун энергия фарки камида 12-15 эВ бўлиши керак.

15

Икки қатламли нанотизим олиш холатида эса имплантация тўйиниш дозасида амалга оширилди ($D=D_{\rm H}\ge 6\cdot 10^{16}~{\rm cm}^{-2}$): аввал катта энергия, кейин кичик энегрия билан. Ион имплантациянинг хар бир циклидан кейин керакли температурада қиздириш ўтказилди: 30–40 дакика давомида $T\approx 850-900~{\rm K}$ температурада хамда киска муддатли $T=1100~{\rm K}$ да. Si га 25 ва 1 кэВ энегияларда ${\rm Co}^+$ ионларини имплантация қилиш ва кейинги қиздиришлар усули билан олинган нанотузилмада ${\rm Co}$ атомлари концентрациясининг ${\rm Si}$ да чукурлиги бўйича таксимотининг ўзгариши шуни кўрсатдики, юзада ва 20–30 нм чукурликда ${\rm Co}$ нинг концентрацияси $\sim 30-40$ ат.% ни ташкил қилади ва бу қатламларда ${\rm CoSi}_2$ бирикмаси хосил бўлади (8-расм). ${\rm CoSi}_2$ қатламлари орасида 5–7 нм, ${\rm Si}$ қатлами эса ${\rm CoSi}_2-{\rm Si}$ ва ${\rm Si}-{\rm CoSi}_2$ чегараларида эса 6–8 нм қалинликдаги ўтиш қатламлари вужудга келади. РЭМ ва ${\rm K}$ ЭЭД тасвирлари тахлилларига кўра ${\rm CoSi}_2/{\rm Si}/{\rm CoSi}_2$ тизими эпитаксиал шаклланган юзаси юкори силликликка эга бўлади (9-расм).





8-расм. E_0 =25 кэВ ва 1 кэВ энергияларда D= 10^{17} см $^{-2}$ дозада Co^+ ионлари имплантация килинган Si да Co атомлари концентрацияси

нинг чукурлиги бўйича таксимоти 9-расм. CoSi₂–Si–CoSi₂–Si тизими сиртининг РЭМ ва КЭЭД тасвирлари

Тадқиқот натижаларига кўра икки қатламли тизим олишда ионларнинг катта ва кичик энергиялари орасидаги фарқ 20 кэB дан кам бўлмаслиги керак. Энергия фарқи ўсиши билан $CoSi_2$ қатламлари орасида шаклланадиган тоза Si қатлами қалинлиги ҳам ўсиб боради. Аммо 40 кэB энергиядан катта энергияларда бир жинсли $CoSi_2$ қатламини олиш имконияти жуда кам.

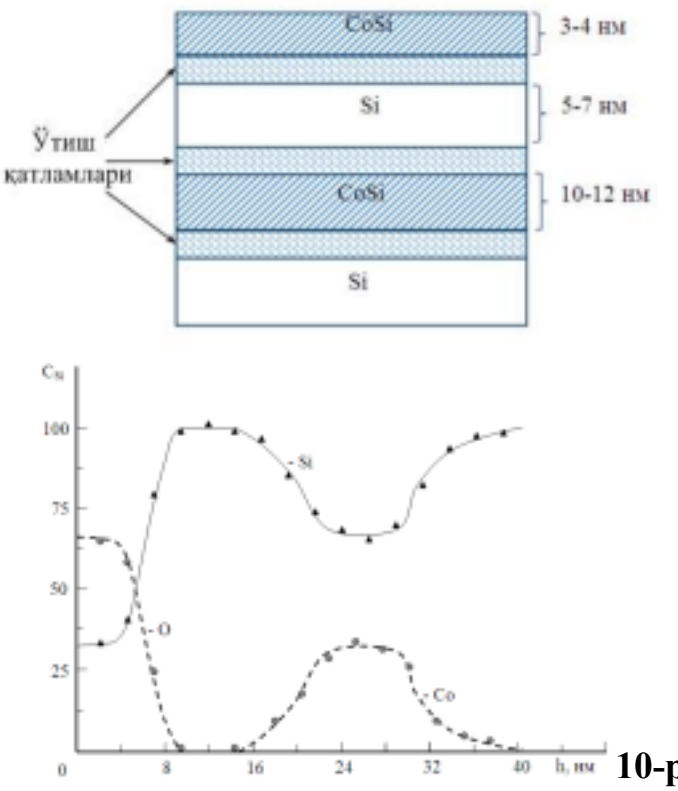
Экспериментал натижалардан кўринадики, Si нинг юза ости соҳасида маълум бир энергияда (E_0 = const) олинган $CoSi_2$ нинг қатлами ~ $10\div15$ нм ни, юзадаги қатлами эса $3\div5$ нм ташкил қилади. Кўп ҳолларда $CoSi_2$ нинг нисбатан қалинроқ қатламларини ҳосил қилиш талаб қилинади. Бунинг учун биз Co^+ ионларининг энергиясини секин-аста камайтириб киритиш усулини кўлладик. Мисол сифатида 10-расмда Co^+ ионларини Si га кетма-кет 25 кэВ ва 18 кэВ энергияларда $D=8\cdot10^{16}$ дозада киритиб, кейин 1000 К қиздириб ҳосил қилинган Si- $CoSi_2$ -Si системасининг схематик кесими келтирилган. Расмдан кўринадики, $CoSi_2$ нинг Si даги қалинлиги 20-25 нм, унинг юзасида

16

Si нинг қалинлиги 10-15 нм ни ташкил қилади. Со $^{+}$ ионларининг энергиясини куйидаги кетма-кетликда камайтириб 30, 25, 18, 12, 7, 3 ва 1 кэВ CoSi₂/Si(111) нинг 35 \div 40 нм қалинликдаги бир жинсли эпитаксиал пленкасини хосил килдик.

кейинги боскичи SiO₂/Si/CoSi₂/Si(111) гетеротузилма Тадкикотнинг Бунинг учун дастлаб Si(111) юқори қаратилди. олишга энергияларда (E_0 =25–30 кэB) ва D= 10^{17} см⁻²дозада Co^+ ионлари билан Т=1000 К гача 30-40 дакика давомида имплантацияланди ва кейин қиздирилди. Кейин шу намуна ${\rm O_2}^+$ ионлари билан кичик энергияларда $(E_0=1-5 \text{ кэВ})$ ва $D=8\cdot10^{16} \text{ см}^{-2}$ дозада бомбардимон қилинди. T=800-850 Kтемпературада ўтиш қиздирилгач, қатламларига эга бўлган

 $SiO_2/Si/CoSi_2/Si(111)$ туридаги тизим хосил бўлди. Со⁺ионларини $E_0 = 25$ кэВ ва O_2 ⁺ни $E_0 = 4$ кэВ да киритиб ва кетма-кет қиздириш усули билан олинган $SiO_2/Si/CoSi_2/Si(111)$ тизимида ички $CoSi_2$ қатлами қалинлиги $12\div15$ нм ни, юзасидаги SiO_2 қатлами $4\div4,5$ нм ни ташкил қилади. (11-расм).



 $\frac{1}{1}$ 10-расм. Si га D = $8 \cdot 10^{16}$ см⁻²дозада

боскичма-боскич 25 кэВ ва 18 кэВ энергияларда Со⁺ионларини имплантация килиб, кейин Т=1000 К да киздириб хосил килинган Si/CoSi₂/Si тизимининг схематик кесими имплантацияланган

11-расм. SiO₂/Si/CoSi₂/Si(111) тизимида Si, О ва Со атом ларининг чукурлик бўйича таксимоти

Si ни Na, P ва B атомлари билан орқа томондан (молибден таглиги томондан) легирлаш усули таклиф этилди. Бунинг учун Мо дастлаб Na⁺ (P⁺, B⁺) ионлари билан оптимал энергияда (E₀=4–5 кэВ) ва дозада (D≈10¹⁷ см⁻²) легирланди. Т≈900 К температурада қиздиришдан кейин d≈0–400 Å оралиқда кремнийдаги Na концентрацияси ўзгармайди ва 0,1–0,2 ат.% ни, T=1000 К температурада ва d=0–500Å интервалда ~0,05 ат.% ни ташкил этади. Бунда Si ўтказувчанлиги n типдан p типга ўтади. Р⁺ионлари билан легирланган Si да ўтказувчанлик тури ўзгармайди, лекин солиштирма қаршилик кескин камаяди.

Хар доим конденсат ва таглик материали ўртасида кучли боғланиш хосил бўлишига тўскинлик килувчи металл ва яримўтказгичли тагликлар сиртида оксиднинг юпка пленкалари мавжуд бўлади. Ионли

барқарорлаштирилган ўтқазиш жараѐнида ионлар зарбаси хисобига оксидли пленканинг бузилиши содир бўлади, бузилиш даражаси ортган сари тагликка чанглантирилаѐтган пленканинг адгезияси ошиб боради.

Агар конденсирланган пленка қалинлиги $x \le L_K - \ell(L_k - y)$ тказилган пленка қалинлиги +l, l — пленка оксиди қалинлиги) булса, унда ионлар таъсиридаги пленка бузилиш даражаси тезлигини аниқлаш қуйидаги формула орқали ифодаланади:

		(2)
Бу ерда $J=lpha$	$_{u}\!J_{n}$ – ионлар оқими; $N \mathfrak{t}_{_{-}}$ ва	ақт моментидаги Si–O
оксид пленкадаги бузи	лмай қолган боғланишлар с	они; – Si–O
боғланишнинг узилиш к	ўндаланг кесими.	
Оксид пленканинг буз	вилиш даражаси <<	бўлганда буғ оқимидаги
ионли ташкил этувчиси	куйидаги формула ор	оқали ифодаланади: (3)
Бу ерда –		чангланишгача бўлган
холатдаги пленкадаг	ГИ	Si–O боғланишлар
	сони; N(т) – т вақт моментида	бузилмасдан сақланган
	Si-O боғлиниш сони.	катталик қуйидаги
	ифо,	да орқали топилади: (4)
Пленка ок	сидининг тўлиқ бузилиш дара (5)	ажаси қуйидагига тенг:

Натижалар таҳлили шуни кўрсатдики, буғ оқимида бир қанча фоиз тезлашган ионлар мавжудлиги тўлиқ емирилишига оксид пленкаси ва ўтиш қатламининг ҳосил бўлишига олиб келади. Бунда ўтиш қатламининг ҳисобланган қиймати тажриба натижаларига мос келади.

Электрон нурли плазмали пуркаш (ЭНПП) усулида кремнийли тагликда алюминий пленкасининг адгезияси ошиши ва контакт электр қаршилиги кескин камайиши юқорида айтилганлар орқали тушунтирилади, олинган натижалар термик пуркаш (ТП) усулида олинган натижаларга таққосланган.

18 **ХУЛОСА**

Эпитаксия ва ион имплантация усуллари билан Мо ва Si моно кристаллари асосида наноўлчамли тузилмалар ва кўп қатламли тизимлар олиш, уларнинг шаклланиш қонунларини ўрганиш, физик механизмларини тадқиқ қилиш натижасида қуйидаги хулосалар қилинди:.

- 1. Nb⁺ ионларини Мо га имплантация қилинганда ва кейинги қиздиришда панжара тугунларидаги айрим Мо атомлари ўрнини Nb атомлари эгаллаши туфайли Nb+Мо интерметаллид боғланишнинг нанокристалл фазалари ҳосил бўлиши, Ва⁺ ионлари Мо га киритилганда интерметаллид боғланиш ҳосил бўлмаслиги аниқланган.
- 2. Nb+Mo интерметаллид ҳосил бўлиш жараѐнида Мо нинг юза ости ҳатламлари атом зичлиги амалда ўзгармайди, юзанинг чиҳиш иши еф эса бироз (\sim 0,1 эB) камайиши ҳисобига Nb+Mo нанофазалари ва ҳатламларининг мавжудлиги молибденнинг $\delta_{\rm m}$ ва Y сини сезиларли ўзгартирмаслигини таъкидлаш мумкин.
- 3. Кристаллдан ўтаетган еруғлик нурлари интенсивлиги унинг энергиясига (тўлкин узунлигига) боғликлигини ўрганиш яримўтказгичлар ва диэлектриклар юзасининг янги нанофазалар билан қопланиш даражасини баҳолаш ва текширилаетган материалнинг ҳар хил чукурликларида жойлашган наноўлчамли тузилмаларнинг тақиқланган зонаси кенглигини аниқлашнинг самарали усули эканлиги аниқланган.
- 4. Ме $^+$ ионларини имплантация қилиш усулида Si нинг юзасида ва юза ости қатламларида MeSi $_2$ нанофазалари ҳосил бўлиши, CoSi $_2$ /Si тузилмаси чегарасида эса қалинлиги 100–120 Å бўлган ўтиш қатлами шаклланиши, CoSi $_2$ /Si гетеротузилма чегарасида зона чеккаларида рўй берадиган ΔE_c ва ΔE_v узилишларнинг қийматлари аниқланган.
 - 5. Ионларнинг дозаси ўгармас бўлганда Si нинг хар хил чукурликларида

хосил қилинган MeSi_2 нанокристалларининг ҳажмлари бир хил бўлиши, Si нинг юза остида ҳар хил чуқурликларда жойлашган $(1-2)\cdot 10^{-18}$ см³ ўлчамли CoSi_2 НК фазалари тақиқланган соҳаси кенглиги 0,8-0,9 эВ атрофида бўлиши кўрсатилган.

- 6. Кичик энергияли O_2^+ ионларини катта доза (D≥6·10¹⁶ см⁻²) билан Si га киритиш ва кейинчалик қиздириш усули билан SiO₂ нинг яхлит бир жинсли пленкаларини ҳосил қилиш мумкинлиги, ионлар энергиясини 1 кэВ дан 5 кэВ гача ўзгартириб, қалинлиги d=25−100 Å оралиқда бўлган SiO₂ пленкалари олинган. SiO₂/Si пленкасининг тақиқланган соҳа кенглиги 8,5−9 эВ. D=8·10¹⁵−2·10¹⁶ см⁻²дозаларда олинган CoSi₂ ва SiO₂ пленкаларда бир хил тартибда жойлашган ва зичлиги 10^{10} – 10^{11} см⁻²бўлган кремнийнинг наноўлчамли кристаллари мавжудлиги кўрсатилган.
- 7. Электрон нурли плазмали пуркаш таркибида тезлаштирилган Al⁺ ионлари мавжудлиги (~2–3%) Si–O боғланишнинг узилиши ва кислороднинг

19

чиқиб кетишига, Al нинг сиртга адгезиясининг яхшиланишига ҳамда контакт электр қаршилиги 8–10 марта камайишига олиб келиши кузатилган. 8. Ион имплантация усули билан MeSi₂/Si/MeSi₂/Si туридаги НК ни қатламли нанотизим ҳосил қилиб, Si юзасида ва ҳар хил чуқурликда MeSi₂ наноқатламларини ҳосил қиладиган ион имплантация ва қиздиришнинг оптимал режимлари аниқланган.

9. Si нинг орқа томонидан тагликка олдиндан керакли аралашмани ион имплантация усулида киритишга асосланган легирлаш усули тавсия қилинган. Жумладан, Si/Mo тизимини фосфор билан легирлашда энг оптимал шароитлар: E_0 =4–5 кэB, D= 10^{17} см⁻², қиздириш температураси T=1000 К.

НАУЧНЫЙ СОВЕТ DSc.27.06.2017. FM./Т.34.01 ПО ПРИСУЖДЕНИЮ УЧЕНОЙ СТЕПЕНИ ПРИ ФИЗИКО ТЕХНИЧЕСКОМ ИНСТИТУТЕ, ИНСТИТУТЕ ИОННО ПЛАЗМЕННЫХ И ЛАЗЕРНЫХ ТЕХНОЛОГИЙ, САМАРКАНДСКОМ ГОСУДАРСТВЕННОМ УНИВЕРСИТЕТЕ ТАШКЕНТСКИЙ ГОСУДАРСТВЕННЫЙ ТЕХНИЧЕСКИЙ УНИВЕРСИТЕТ

ЭРГАПІОВ ЁКУБ СУВОНОВИЧ

ЗАКОНОМЕРНОСТИ ФОРМИРОВАНИЯ И ЭЛЕКТРОННЫЕ СВОЙСТВА НАНОРАЗМЕРНЫХ СТРУКТУР, СОЗДАННЫХ НА ПОВЕРХНОСТИ И В ПРИПОВЕРХНОСТНОЙ ОБЛАСТИ М₀ И Si МЕТОДОМ ИОННОЙ БОМБАРДИРОВКИ

01.04.04 – Физическая электроника

АВТОРЕФЕРАТ ДИССЕРТАЦИИ ДОКТОРА ФИЛОСОФИИ (PhD) ФИЗИКО-МАТЕМАТИЧЕСКИХ НАУК

Ташкент-2017

21

Тема диссертации доктора философии (PhD) по физико-математическим наукам зарегистрирована в Высшей аттестационной комиссии при Кабинете Министров Республики Узбекистан за № B2017.1.PhD/FM24.

Диссертация выполнена в Ташкентском государственном техническом университете.

Автореферат диссертации на двух языках (узбекский, русский, английский (резюме))

размещен на веб-странице по адресу fti-kengash.uz и на Информационно-образовательном портале «ZiyoNet» по адресу www.ziyonet.uz.

Научный руководитель: Умирзаков Болтаходжа Ерматович, доктор физико-математических наук, профессор

Официальные оппоненты: Эгамбердиев Бахром Эгамбердиевич доктор физико-математических наук, профессор

Турсунметов Комил Ахмедович доктор физико-математических наук, профессор

Ведущая организация: Ферганский политехнический институт

Защита диссертации состоится «__» ______ 2017 года в _____ часов на заседании Научного совета DSc.27.06.2017. FM./T.34.01 при Физико-техническом институте. Адрес: 100084, г. Ташкент, ул. Бодомзор йули, дом 2б. Административное здание Физико технического института, зал конференций. Тел./Факс: (+99871) 235–30–41; e-mail: lutp@uzsci.net.

С диссертацией можно ознакомиться в Информационно-ресурсном центре Физико технического института (зарегистрирована за № ____), по адресу: 100084, г. Ташкент, ул. Бодомзор йули, дом 2б. Тел./Факс: (+99871) 235–30–41.

Автореферат диссертации разослан «__» _____ 2017 г. (протокол рассылки №____ от «__» ____ 2017 г.)

С.Л. Лутпуллаев,

председатель Научного совета по присуждению ученых степеней, д. ф.-м. н., профессор

А.В. Каримов,

ученый секретарь Научного совета по присуждению ученых степеней, д. ф.-м. н., профессор

С.А. Бахрамов,

председатель научного семинара при Научном совете по присуждению ученых степеней, д. ф.-м. н., профессор

22

ВВЕДЕНИЕ (аннотация диссертации доктора философии (PhD))

Актуальность и востребованность темы диссертации. На сегодняшний день в мире в быстроразвивающейся области физической

электроники одним из перспективных направлений является исследования при формировании наноматериалов, зависимости магнитных, электрических, оптических и других свойств от размеров. В этом плане исследование размерных эффектов зависимых от природы материалов и проявление полупроводниковых свойств в наноразмерных металлах, а в полупроводниках изменение ширины их запрещенной зоны с уменьшением их размеров является одним из основных задач.

В годы независимости в нашей республике особое внимание обращено развитию области физической электроники включающей физические явления и процессы, имеющие фундаментальное значение при создании различных типов приборов. В ЭТОМ аспекте укрепление обладающей качественными свойствами материальной базы, а также улучшение качества путем введения в кристаллы дополнительных элементов в свете современных требований, совершенствование их технологии достигнуты существенные Стратегии действий дальнейшего результаты. Ha основе Республики Узбекистан укрепление элементной базы производимых в области нано- и микроэлектроники физической электроники, расширение функциональных свойств обеспечивающих их широкое применение имеет важное значение.

Ha исследование свойств сегодня мире электронных закономерностей формирования наноразмерных структур открывает возможность повышения адгезии металлов, уменьшению электрического сопротивления контакта к структурам на основе кремния, способствуют повышению их стабильной работы. В этом аспекте целевые научные исследования, в том числе реализация в нижеприведенных направлениях: проведение имплантации ионов металлов при различных энергиях и дозах; проведение бомбардировки ионами металлов и изучение закономерностей механизмов образования наноразмерных фаз полупроводниках путем последовательного термического отжига; исследование влияния распыления заряженных металлов на формирование тонких оксидных пленок Si. В этом направлении проводимые научные исследования указывают на актуальность данной диертации.

Данное диссертационное исследование в определенной степени служит выполнению задач, предусмотренных в Постановлении первого Президента Респуб-лики Узбекистан №ПП–1442 «О приоритетных направлениях развития индустрии Республики Узбекистан на 2011-2015 гг.» от 15 декабря 2015 года и №-ПП-2789 «О мерах по дальнейшему совершенствованию деятельности Академии наук, организаций, управления и финансирования научно-исследовательской деятельности» от 17 февраля 2017 года а также в других нормативно-правовых документах, принятых в данной сфере.

рамках приоритетных направлений развития науки и технологий Республики Узбекистан – III. «Энергетика, энергоресурс сбережение, транспорт, машино и приборостроение; развитие современной электроники, микроэлектроники, фотоники, электронного приборостроения».

Степень изученности проблемы. До настоящего времени исследования ученых и разработчиков направлены на создание и изучению физико химических свойтв наноразмерных структур, формируемых в полупроводниковой и металлической матрице, ученые из Китая и США W.S. Cho, J.Y. Kim, J.M. Gallego, R. Miranda исследовали процесс роста сверхтонких (1-2 монослоев) пленок Со на поверхности Si(111), а Bei Li, Jianlin Liu, U. Starke, W. Weiss, М.В. Гомоюновы обнаружили образование химической связи между атомами Со и Si при твердофазном осаждении Со на Si с образованием нанослоев CoSi₂ и возможность использования этих структур при создании различных приборных композиций.

Учеными Узбекистана в том числе, Б.Е.Умирзаковым и с его сотрудниками впервые методом низкоэнергетической ионной бомбардировки получены одно и многокомпонентные наноразмерные кристаллические фазы и пленки в поверхностной области Pd, Si, GaAs и CaF₂.

исследования Связь диссертационного планами научно исследовательских работ высшего образовательного учреждения, где выполнена диссертационная работа. Работа выполнена в Ташкентском государственном техническом университете в рамках Государственной программы научно-исследовательских работ Республики Узбекистан и проектов № К-4-001 «Разработка технологии получения многослойных наноразмерных МДП и ПДП гетероструктур на основе кремния» (2012–2014); № Ф2-41 «Теоретические и экспериментальные исследования процессов распыления, внедрения атомов, образования наноразмерных структур и напряженных слоев при имплантации ионов в материалы различной (2012-2016); $N_{\underline{0}}$ А-4-7 «Разработка технологии синтеза гетероэпитаксиальных наноразмерных структур в приповерхностной области монокристаллических пленок кремния и арсенида галлия для приборов микро- и оптоэлектроники, в том числе солнечной энергетики» (2015–2017).

Целью исследования является получение наноразмерных структур и многослойных систем на основе монокристаллов Мо и Si методами эпитаксии и ионной имплантации, изучение закономерностей и выяснение физических механизмов их формирования.

В соответствии с поставленной целью необходимо было решить следующие задачи:

изучить состав, электронные свойства, микроструктуру и морфологию поверхности Mo(111), имплантированного ионами Ba^+ и Nb^+ с разными энергиями (E_0 =0,5-5 кэB) и дозами (D= 10^{14} - 10^{17} см⁻²);

оценить влияние образования наноразмерных фаз на эмиссионные свойства молибдена;

изучить закономерности и основные механизмы образования наноразмерных фаз $MeSi_2$ в приповерхностной областью Si (111) при бомбардировке ионами Na^+ и Co^+ в сочетании с отжигом; разработать методики определения степени покрытия, размеры и ширину запрещенной зоны нанокристаллических фаз $MeSi_2$, сформированных в различных глубинах приповерхностного слоя;

изучить закономерности роста нанопленок SiO_2 на поверхности Si при бомбардировке ионами O_2^+ ; определить параметры энергетических зон нанопленок SiO_2 различной толщины с использованием методов спектроскопия упруго отраженных электронов (СУОЭ), ультрафиолетовой электроной спектроскопии (УФЭС) и прохождения света через пленки;

изучить влияние на формирование переходящего слоя в Si, покрытого тонким слоем окисла, при напылении частично заряженного металла; разработать и усовершенствовать известные методики получения двухслойной системы типа MeSi₂/Si/MeSi₂/Si, основанные на имплантации ионов Me⁺ (Me-Na и Co) в Si с различными фиксированными энергиями с последующим отжигом; построить зонно-энергетическую диаграмму двухслойной системы;

провести легирование Si с тыльной стороны и изучить концентрационные профили распределения атомов легирующего элемента на границе кремний-подложки для оптимальных режимов однородного легирования Si.

Объектами исследования являлись монокристаллические образцы Мо и Si имплантированных ионами в широкой области энергии $(0,2-40~{\rm kp}B)$ и дозы $(D=10^{14}-10^{17}~{\rm cm}^{-2})$.

Предметом исследования являются закономерности и физические механизмы формирования нанокристаллов и нанопленок на поверхности и в приповерхностных слоях металлов и полупроводников.

Методы исследований. Оже–электронная спектроскопия (ОЭС), дифракция быстрых электронов (ДБЭ), растровая электронная микроскопия (РЭМ), УФЭС, СУОЭ, спектроскопия характеристических потерь энергии электронов (СХПЭЭ), атомно-силовая микроскопия (АСМ) а также спектроскопия проходящего света через образец.

Научная новизна исследования состоит в следующем:

Выявлены физические механизмы образования интерметаллических соединений типа Nb+Mo в приповерхностном слое Мо при имплантации ионов Nb⁺в сочетании с отжигом и экспериментально доказано, что образование интерметаллида приводит к формированию ниже уровня Ферми Мо электронной подзоны 4d электронов Nb, что приводит к изменению плотности состояния валентных электронов Mo.

Экспериментально установлено, что при имплантации ионов Ba⁺в Мо не образуется интерметаллическое соединение, однако вследствие уменьшения работы выхода и увеличения атомной плотности

приповерхностного слоя эмиссионная эффективность вторичных и фотоэлектронов увеличивается в 2 и более раза.

установлены основные закономерности формирования наноразмерных фаз и слоев $MeSi_2$ в приповерхностной области Si в процессе ионной имплантации и последующего отжига, а также разработаны методики оценки их размеров и определения параметров энергетических зон, основанные на изучении изменения интенсивности проходящего света;

разработана технология получении однородных поликристаллических нанопленок SiO_2 различной толщины ($d\approx20\text{-}100\text{Å}$) и с шириной запрещенной зоны $\sim8.5\div9$ эВ методом имплантации ионов O_2^+ на поверхности Si;

обосновано, что наличие в потоке напыляемых металлических веществ (A1) нескольких процентов ускоренных ионов (E_0 =1-2 кэВ) приводит к полному разрушению тонкой окисной пленки на поверхности Si и созданию переходного слоя приводящего повышению адгезии металла на кремниевых подложках и резкому снижению контактного электросопротивления;

разработана методика получения наноразмерных двухслойных систем типа $MeSi_2/Si/MeSi_2/Si$ (Me-Co, Na), интегральная толщина которых не превышает $40\div50$ нм, толщина поверхностной пленки $CoSi_2$ составляет $3\div5$ нм, толщина приповерхностной пленки – $10\div12$ нм, а толщина пленки Si между этими слоями – $10\div20$ нм.

Практические результаты исследования заключаются в следующем: разработаны методики получения наноразмерных фаз MeSi₂ в различных глубинах приповерхностной области Si и двухслойной системы типа MeSi₂/Si/MeSi₂/Si;

предложена методика легирования Si с тыльной стороны. Даны научно обоснованные рекомендации по применению полученных результатов при разработке приборов микро-, нано- и оптоэлектроники.

Достоверность результатов исследований обеспечивается необходимой статистикой экспериментов, использованием комплекса независимых взаимодополняющих современных методов измерения и обработки данных, а также соответствием полученных результатов по чистым образцам Мо и Si с данными других авторов.

Научная и практическая значимость результатов исследования. Научная значимость: полученные результаты исследований позволяют объяснить механизмы формирования и электронные свойства наноразмерных структур созданных на поверхности и в приповерхностном слое материалов различной природы, которые являются фундаментальной базой для развития теории образования гетероэпитаксиальных наноразмерных структур и теории движения заряженных частиц в этих структурах.

Практическая значимость: разработанные методики однородного

легирования Si с тыльной стороны, получение регулярно расположенных наноразмерных фаз и нанопленок SiO₂ на поверхности Si, создание

26

двухслойной гетероструктурной системы $MeSi_2/Si/MeSi_2/Si$ весьма важны при разработке различных $MO\Pi$, $MД\Pi$, $\PiД\Pi$ -структур, контактных и барьерных слоев для приборов твердотельной электроники, в том числе солнечной энергетики.

Внедрение результатов исследования. На основе результатов исследовния образованияна поверхности Мо и Si и в поверхностной области наноразмерных фаз:

полученные результаты по образованию наноразмерных фаз на поверхности и в приповерхностной области Мо и Si использованы в научных проектах ОТ-А3-56 «Разработка неохлаждаемых высокоэффективных приемников теплового излучения и термоэлектрических преобразователей инфракрасного излучения на основе пленок высшего силицида марганца» и Ф-2-31 «Исследование структуры и физических свойств наноразмерных пленок силицидов металлов и разработка термочувствительных структур» (Справка ФТА-0211/360 Агентство Науки и технологии Республики Узбекистан от 2017 года 19 июля);

изучены основные закономерности формирования наноразмерных фаз и слоев MeSi_2 в приповерхностной области и на их основе разработано утройство оценки размеров и определения параметров энергетических зон (катлог VIII Республиканской ярмарки инновационных идей, технологий и проектов «Электронная установка для измерения и стабилизации температуры приборов электронной техники»). Разработанное устройство позволило съэкономить энергию.

Апробация результатов исследования. Результаты данного исследования были представлены и обсуждены на 19 международных и 3 республиканских научно-практических конференциях.

Публикации результатов исследования. По теме диссертации опубликовано 10 статей научных трудов, из них журналах, рекомендованных Высшей Республики аттестационной комиссией Узбекистан для публикации основных научных результатов докторских диссертаций.

Структура и объèм диссертации. Диссертация состоит из введения, четырèх глав, заключения, списка использованной литературы. Объем диссертации включает 135 страниц.

ОСНОВНОЕ СОДЕРЖАНИЕ ДИССЕРТАЦИИ

Во введении обоснованы актуальность и востребованность темы диссертации, определена связь исследований с основными приоритетными направлениями развитии науки и технологий в республике, приведены обзор научных исследований по теме диссертации, степень изученности проблемы,

сформулированы цели и задачи, определены объекты, предметы и методы исследования, изложена научная новизна исследования, обоснована достоверность полученных результатов, раскрыта их теоретическая и практическая значимость, приведены краткие сведения о внедрении

27

результатов и апробации работы, а также об объеме и структуре диссертации. В первой главе «Состояние проблемы получения и изучения физических свойств перспективных наноразмерных структур на основе металлов и полупроводников» анализируются оригинальные данные исследований посвященных созданию и изучению физико-химических свойств многослойных наноразмерных гетероэпитаксиальных пленок и упорядоченных наноразмерных структур, созданных на основе Si и Mo. Особое внимание уделяется структурам, полученным с использованием методов ионной бомбардировки и выявлению механизмов их образования. Показано, что изменяя состав, размеры и формы квантовых точек можно контролируемо регулировать физические, в особенности электронные свойства исследуемых образцов и структур.

Однако, до настоящего времени отсутствуют достоверные сведения о результатах систематических исследований по созданию нанообъектов с контролируемыми свойствами на поверхности материалов различной Практически природы. не проводились исследования созданию ПО двухслойных силицидов. Отсутствуют, сведения наноразмерных механизмах формирования наноразмерных фаз в различных глубинах полупроводников. Ha основе анализа имеющихся теоретических экспериментальных данных выявлены основные проблемы современной физической электроники, связанные с получением и изучением свойств наноразмерных структур, что послужило основой формулировки цели и задачи данной диссертационной работы.

Вторая глава «Основные принципы базовой установки по получению изучении физических свойств материалов с наноразмерными структурами» посвящена описанию экспериментальных получения и исследования физических свойств материалов и пленок с наноразмерными структурами. В качестве объектов исследования выбраны монокристаллические образцы Мо и Si. Ионная бомбардировка, отжиг и основные исследования проводились в универсальной сверхвысоковакуум ной установке. Энергия ионов металлов варьировалась в пределах E_0 от 0,5 до 40 эВ, а $Ar^+u O_2^+-$ в пределах $E_0=0.5-5$ кэВ. Элементный и химический состав образцов исследовались методом ОЭС, параметры энергетических зон и плотности состояния валентных электронов – методами УФЭС, СУОЭ и измерения интенсивности проходящего света.

Для получения информации о микрорельефе поверхности и параметрах решетки, использованы стандартные установки растровый электронный микроскоп (РЭМ) «JEOL», дифрактометр быстрых электронов (ДБЭ) «ЭМР – 102», атомно-силовой микроскоп XIA-200 и спектрофотометр UV-1280.

Третья глава посвящена изучению состава и электронных свойств наноразмерных структур и пленок, созданных на поверхности молиб дена и кремния. Полученные результаты показывают, что при имплантации ионов Nb^+ в Мо с невысокой дозой ($D \le 10^{15} \, \text{см}^{-2}$) на поверхности и вблизи неè образуются нанокластерные фазы интерметаллида типа Nb+Mo. При этом в спектре фотоэлектронов ниже уровня Ферми появляются дополнительные

максимумы при энергиях 0,5 эВ и 4,3 эВ. Эти уровни создают свои энергетические подзоны, связанные с 4d-электронами ниобия, которые расположены в запрещенной зоне молибдена в направлении симметрии ГР.

При высоких дозах ионов $Nb^{+}(D\approx D_{\text{нас}}\approx 8\cdot 10^{16}~\text{см}^{-2})$ на поверхности Мо образуется тонкий слой интереталлида Mo+Nb толщиной ~30-40 Å. При этом работа выхода и эмиссионные свойства Мо заметно не изменяются. На рис.1 приведены фотоэлектронные спектры полученные после прогрева при разных температурах Мо (111), имплантированного ионами Ba^+c $E_0 = 1$ кэВ при дозе 6.10^{16} см⁻²(доза насыщения). Прогрев при каждой Т проводился в течение 30 мин. Видно, что после ионной имплантации площадь под кривой



ионами Ba^+c $E_0 = 1$ кэB и $D = 6 \cdot 10^{16}$ см⁻², 3 – после прогрева при Т = 1000 К ионно имплантированного Мо.

Рис. 1. Фотоэлектронные спектры полученные при $h \lor = 10 \ 3B$.

энергетического распреде ления (КЭР), то есть кванто вый выход фотоэлектронов увеличивается почти в два раза (кривая 2), ширина спектра ∆Е увеличивается на 1.5–2 эВ, резко уменьшаются интенсив ности пиков Мо и появляются новые пики, характерные для Ва. Результаты ОЭС показали, что после ионной импланта

ции, при концентрация Ва на 1 – Мо (111), 2 – Мо (111) имплантированный поверхности и приповерх ностном слое до глубины 40- 50 Å составляет ~45–50 ат.%, но не образуется химическая связь между атомами Мо и Ва. Эта связь не образовалась и

при прогреве до Т~1300 К, соответствующей полному испарению атомов Ва. Можно полагать, что при этом в приповерхностном слое Мо формиру ются тонкие пленки с толщиной $\theta = 40-50$ Å, состоящие из механической смеси Мо+Ва. Положения пиков в спектре фотоэлектронов системы [Ва+Мо] могут несколько (на 0.1–0.2 эВ) отличаться от аналогичных пиков для «чистого» Мо и Ва, что, вероятно, связано с некоторым перераспределением электронов валентной зоны вследствии деформации решетки Мо внедренными атомами Ва и разупорядочением приповерхностного слоя. В таблице 3.1 приведены основные эмиссионные свойства чистого и ионно-легированного Мо (111).

Из таблицы видно, что после имплантации ионов Ва квантовый выход фотоэлектронов Мо при hv = 5.5 эВ увеличивается в ~ 8 раз, а после прогрева при оптимальной температуре в 6 раз, а значение σ_m на 1.5÷2 раза. Имплантация ионов Nb приводит к заметному (до 1.2÷1.5 раза) уменьшению эмиссионной эффективности Мо, что связано с адсорбцией углерода. После прогрева при 1400 К наблюдается некоторое уменьшение еф (на ~ 0.1эВ) и увеличение (на 5÷6 %) σ_m и Y.

29

Таблица 1. Значения еф, Y и σ для Mo (111) и Mo (111) имплантированного ионами \mathbf{Nb}^{+} и \mathbf{Ba}^{+}

Параметры	Mo(111)	$Nb^+ \rightarrow M$ кэB, D = 3	$E_0 = 3$ $8 \cdot 10^{16} \text{cm}^{-2}$	Ba ⁺ → Mo, E ₀ = 1 $\kappa \ni B, D = 6 \cdot 10^{16} \text{cm}^{-2}$		
		T = 300 K	T= 1400 K	T = 300 K	T=1100 K	
еф, эВ	4,51	4,8	4,4	2,6	2,2	
$Y \cdot 10^{-6} (hv = 5.5 9B)$	6,2	4,1	6,5	50	35	
$\sigma (E_p^* = 500 \text{ sB})$	1,4	1,2	1,5	2,8	2,1	

 $[*]E_p$ – энергия первичных электронов.

Исследованы состав, структура и электронные свойства наноразмерных фаз, созданных имплантацией ионов (Co^+ , Na^+ , $\mathrm{O_2}^+$) и напылением (Cu) на Si , с использованием комплекса методов электронной спектроскопии и микроскопии. Для сравнения в некоторых случаях представлены результаты по формированию наноразмерных фаз на поверхности диэлектриков NaCl и $\mathrm{CaF_2}$. Эти пленки широко используется при получении многослойных гетероструктур, применяемых в различных оптических и электронных устройствах, в солнечных элементах и фоточувствительных приборах.

Впервые методом измерения интенсивности проходящего света определены ширина запрещенной зоны нанокристаллов и нанослоев $MeSi_2$, полученных на различных глубинах Si. Из рис. 2 видно, что резкое уменьшение интенсивности света в случае «чистого» Si происходит начиная с $hV \sim 1,0$ $\ni B$,

а в случае пленки

 $CoSi_2 - c hV \sim 0.5 эВ$ (кривые 1 и 3, соответственно). Экстраполяция этих кривых к оси энергии фотонов показывает, что значения E_g для пленок Si и $CoSi_2$ равны \sim 1.1 эВ и 0.6 эВ, соответственно. В



I – Si (111); 2 – Si с нанокристаллами CoSi₂; 3 – Si с нанопленкой CoSi₂ с толщиной 2,5 – 3,0 нм.
 Puc. 2. Зависимость интенсивности

случае Si с нанокристаллами $CoSi_2$ (рис. 2, кривая 2 – резкое уменьшение интенсивности света наблюдается при двух значениях hV равных 0,8 эВ и 1 эВ. Первое поглощением света в участках покрытых нанокристаллами $CoSi_2$, а второе –в участках не покрытых нанокристаллами $CoSi_2$ (кремния). Таким образом, значения E_g для

проходящего света от энергии фотонов уменьшение связано с

нанокристаллов ${\rm CoSi_2}^{\rm c}$ поверх ностными диаметрами ~ 25–30 нм составляют ~ 0,85 - 0,9 эВ. Из этого следует, что ширина запрещенной зоны нанокристаллических фаз значительно больше, чем для нанопленок. На основе кривой 2 можно также оценить степень покрытия поверхности Si нанофазами ${\rm CoSi_2}$.

30

Еè значение при $\theta \le 1$ можно определить по формуле:

(1)

Как видно из кривой 2 (рис. 2) в случае $Si + HK CoSi_2$ при $hv \approx 0.9$ эВ, соотношение I_{CoSi_2}/I_{Si} составляет ~ 0.55 , и следовательно значение θ составляет ~ 0.45 . Можно полагать, что остальная 0.45 часть поверхности кремния покрыта нанокристаллами $CoSi_2$, что близко к значению степени покрытия θ , полученного нами методами ОЭС и РЭМ.

Изучены начальная стадия роста ($d\approx0.2-5$ монослой) пленки Сu на поверхности Si и NaCl. Установлено, что при $d\le 1$ рост пленки имеет островковый характер, а в интервале $d\approx 1-5$ монослой пленки растет неравномерно. Показано, что нанопленки Cu с толщиной 1–1.5 монослоя обладают свойствами, характерными для узкозонных полупроводников ($E_g=0.5$ –0.6 эВ).

На рис. З приведены спектры ХПЭЭ для NaCl, покрытого атомами Cu с разной толщиной. Видно, что пики плазменных колебаний ($\hbar\omega_s$ и $\hbar\omega_v$) характерные для Cu, появляются, начиная с $d\sim 1$ –1.5 монослоя, что указывает на формирование сплошной пленки. Однако положения пиков $\hbar\omega_v$ и $\hbar\omega_s$ немного смещены в сторону больших потерь энергии, и их интенсивности существенно меньше, чем для массивной пленки Cu. Все пики ХПЭЭ, характерные для массивного Cu, устанавливаются при $d_{min} \ge 3$ –4 монослоев.

Изучены особенности формирования нанопленок SiO_2 на поверхности Si при имплантации ионов O_2^+ . Фотоэлектронные спектры Si (111) и нанопленки SiO_2/Si (111) полученные при hv=10.8 и 21,2 9B обладают явно выраженной тонкой структурой (рис. 4). В случае чистого Si наличие

Толщина d_{min} : 1-0; 2-1; 3-2; 4-4 монослоя.

Рис. 4. Спектры УФЭ снятые при hv= 10,8 эВ (кривая 1) и hv=21,2 эВ (кривая 2,3)

Рис. 3. Спектры XПЭЭ для NaCl с пленкой Cu

1, 2 – Si, 3-SiO₂/Si, d \approx 50 Å.

основных максимумов можно объяснить возбуждением электронов из поверхностных состояний, а также из 3p и 3s состояний валентных электронов Si. В случае окиси кремния происходит гибридизация электронных состояний атомов легирующего элемента и подложки, что

31

приводит к изменению формы и положений пиков возбужденных электронов. На рис. 5 приведены АСМ и РЭМ изображения поверхности пленки SiO_2 с толщиной 50 Å, полученные имплантацией ионов O_2^+ в Si с E_0 = 3 кэВ (D = $8\cdot 10^{16}$ см⁻²) в сочетании с прогревом при T = 1100 K. Видно, что при этом формировалась сплошная, однородная пленка с практически гладкой поверхностью (неровности меньше, чем 8-10 Å). Для пленок SiO_2 , полученных другими методами, в частности, методом термического осаждения кислорода в Si неровности поверхности составляют 80-100 Å. В случае SiO_2/Si (111), в отличие от силицидов металлов, не наблюдался эпитаксиальный рост и образовалась поликристаллическая структура. По форме ДБЭ — картин (вставка рис. 5б) предполагаем, что пленки SiO_2 состоят из отдельных монокристаллических блоков, однако на границах блоков их ориентация не совпадает.

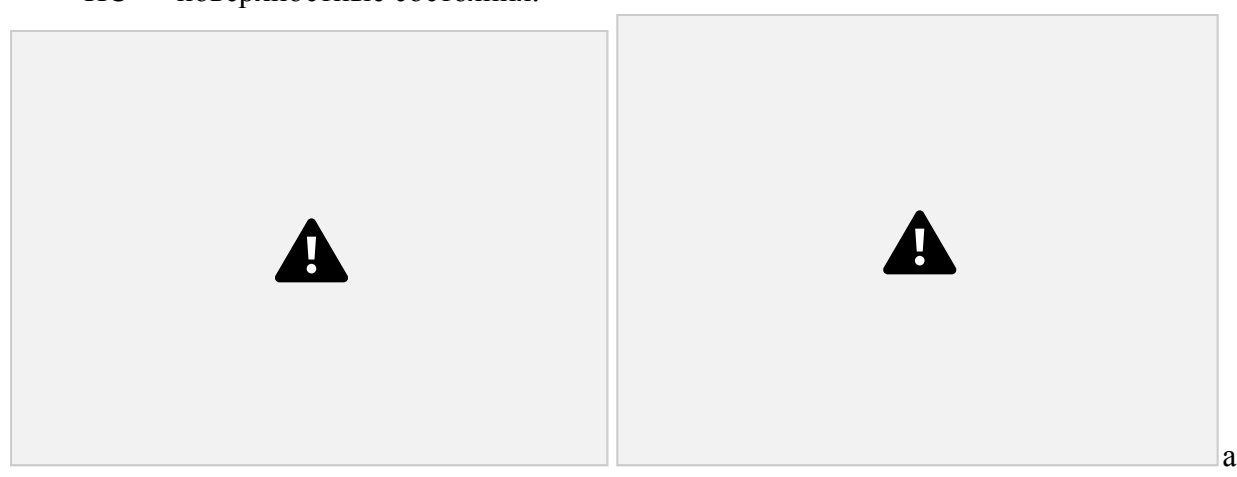
В таблице 2 приведены возможные механизмы, ответственные за формирование пиков в спектре фотоэлектронов, а также зонно энергетические параметры и параметры кристаллических решеток Si и SiO₂. Видно, что значения ширины запрещенной зоны нанопленок SiO₂ составляет ~ 9 эВ, что характерно для массивных монокристаллов SiO₂. Таблица 2.

Параметры зон и кристаллической решетки Si и пленки SiO₂

Объект ы	Характерные пики в спектрах	Параметры зон, эВ	Посто ян ная
-------------	-----------------------------	-------------------	-----------------

исслед о вания	A	В	С	D	E _V	E_{F}	E_{g}	χ	решет ка а, Å
Si	3р + ПС*	3p	3s+3p	3p	5,1	4,7	1,1	4	5,43
SiO ₂	2p(O) + 3p(Si)	2p(O) + 3p(Si)	2p(O) + 3p(Si)	2p(O) + 3s(Si)	9,1	4,5	8,9	0,1- 0,2	поли крис талл

 ΠC^* – поверхностные состояния.



– АСМ изображения, б – РЭМ картина (на вставке ДБЭ картина)

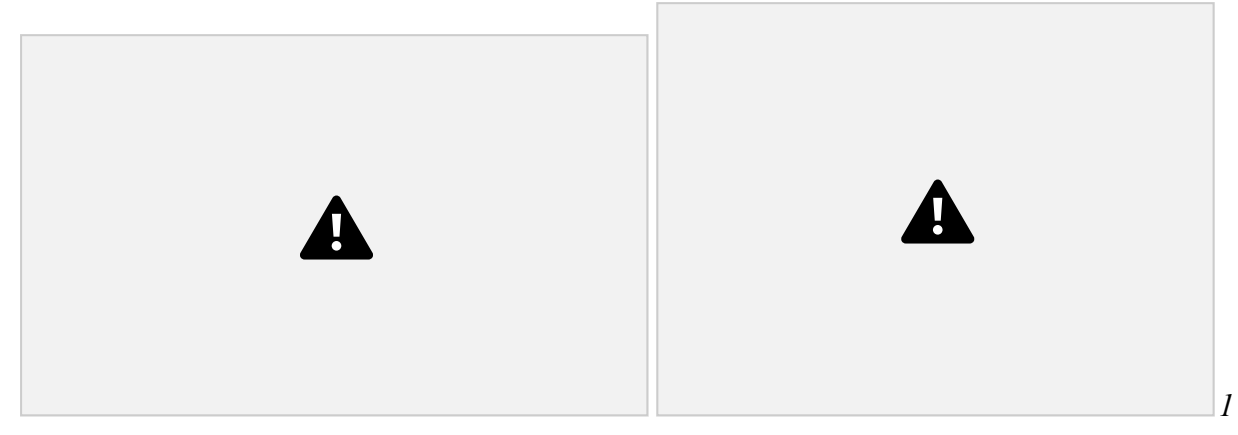
Рис. 5. АСМ и РЭМ картина поверхности пленки $SiO_2/Si\ c\ d\sim 50\ Å$.

Установлено, что при дозах $D=8\cdot 10^{15}-2\cdot 10^{16}$ см⁻², немного меньше их чем дозы насыщения, в пленках SiO_2 имеются регулярно расположенные наноучастки Si с плотностью $10^{10}-10^{11}$ см⁻².

В четвертой главе «Применение ионной имплантации для создания двухслойных гетероэпитаксиальных структур на поверхности и в приповерхностной области Si» изложены результаты экспериментов по созданию наноразмерных фаз $MeSi_2$ на различных глубинах Si, а также двухслойных эпитаксиальных гетеросистем $CoSi_2/Si/CoSi_2/Si$, $SiO_2/Si/CoSi_2/Si$.

Наноразмерные фазы MeSi_2 получены имплантацией ионов Me (Me-Co и Na) в Si с вариацией энергии ионов в пределах от 1,0 до 40 кэВ при невысоких облучения $\mathrm{D=5\cdot10^{13}-\ 5\cdot10^{15} cm^{-2} B}$ сочетании с отжигом. На рис. 6 приведены изменения интенсивности оже-пика Co (E=765 эВ) по глубине Si (111), легированного ионами Co⁺с энергией $E_0=15$ кэВ при $D=10^{15}$ см⁻²до и после прогрева при температуре $T\approx900$ К в течение 30 мин. В обоих случаях

максимум распределения атомов Со располагается на глубине 15–16 нм. После прогрева наблюдается увеличение концентрации атомов в области максимума и существенное уменьшение полуширины кривой распределения $I_{Co}(h)$. В этих участках (на глубине ~ 15–16нм) образовались нанокристаллические фазы $CoSi_2$. Из энергетических соображений можно полагать, что эти фазы в отличие от поверхностных фаз, имеют сферическую форму. Изучение зависимости I_{CoSi2}/I_{Si} от hv показало, что значение E_g «объемных» нанокристаллов $CoSi_2$ составляет 0,8–0,85эB, а относительная площадь НК $CoSi_2$ в этих слоях $Si \sim 0,25$ –0,3 (рис. 7).



– до прогрева;

2 – после прогрева при T = 900 K.

Рис. 6. Профили распределения атомов Со по глубине h Si, имплан тированного ионами Со+ с энергией E0 = 15 кэВ при D ≈ 1015 см⁻²

ности проходящего света от энергии фотонов для Si с нано кристаллами CoSi₂, сформи рованных в приповерхностном слое на глубине 15–16 нм

Рис. 7. Зависимость интенсив

Оптимальные режимы ионной имплантации и отжига для получения НК $MeSi_2$ в случае двух разных глубинах монокристалла Si(111) представлены в табл. 3.

33

Видно, что после прогрева Si, имплантированного ионами Co⁺и Na⁺c E_0 =30 кэB, нанокристаллические фазы формировались на глубине 26-30 нм. При D=5·10¹⁴ см⁻²средний диаметр нанокристаллов составляет 5-6 нм, а при D=10¹⁵ см⁻²— 10–12 нм. В случае E_0 =15 кэВ нанокристаллические фазы образовались на глубине 13–15 нм, а диаметры фаз мало отличаются от характерных для E_0 =30 кэВ. Проведенные исследования показали, что оптимальными режимами получения наноразмерных фаз MeSi₂ в различных глубинах Si являются: интервал энергии ионов от 1 до 40 кэВ; доза облучающих ионов $D \simeq 10^{14}$ — 10^{15} см⁻², минимальная разность энергии ионов для создания фаз в соседних глубинах 12-15 кэВ.

В случае получения двухслойных наносистем имплантация

осуществлялась при дозе насыщения (D=D $_{\rm H} \ge 6\cdot 10^{16}\,{\rm cm}^{-2}$): сначала с высокой энергией, а затем с низкой энергией. После каждого цикла ионной имплантации проводился термический прогрев при оптимальной температуре (T $\approx 850-900~{\rm K}$) в течение $30-40~{\rm Muh}$. и кратковременный прогрев при $T=1100~{\rm K}$.

Таблица 3 Оптимальные режимы ионной имплантации и отжига для получения нанокристаллов (НК) MeSi₂ в различных глубинах Si(111)

нанокристаллов (пк) межд в различных плуоинах м(111)								
Ионы	E_0 = 15 кэВ				$E_0 = 30 \text{ кэВ}$			
	D, см ⁻²	T, K	d, нм	h, нм	D, см ⁻²	T, K	d [*] , нм	h ^{**} , нм
Co ⁺	5×10 ¹⁴ 10 ¹⁵ 5×10 ¹⁵	1000 1000 1200	6-8 10-12 22-25	15-16	5×10 ¹⁴ 10 ¹⁵ 5×10 ¹⁵	1000 1000 1100	9-10 20-25	28-30
Na ⁺	5×10 ¹⁴ 10 ¹⁵ 5×10 ¹⁵	1000 1050 1100	5-6 12-14 24-26	13-15	$ 5 \times 10^{14} \\ 10^{15} \\ 5 \times 10^{15} $	1000 1100 1100	- 10-12 -	26-28

 d^* – диаметр нанокристалла, h^{**} – расстояния от поверхности до центра нанокристалла.

Исследование зависимости концентрации Со по глубине Si, полученные имплантацией ионов Со в Si с энергиями 25 и 1 кэВ в сочетании с термическим отжигом показали, что на поверхности и на глубине 20–30 нм концентрация кобальта составляет ~ 30 –40 ат.%, т.е. в этих слоях образуются соединения типа $CoSi_2$ (рис. 8). Между слоями $CoSi_2$ имеется слой Si толщиной 5–7 нм, а на границах раздела $CoSi_2$ -Si и Si-CoSi $_2$ имеются переходные слои с толщиной 6–8 нм. Анализ РЭМ изображения и ДБЭ картин показал, что система $CoSi_2/Si/Si/CoSi_2$ формируется эпитаксиально и имеет зеркально-гладкую поверхность (рис. 9).



Рис. 8. Концентрационные профили распределения Со по глубине для Si, имплантированного ионами $\mathrm{Co}^+\mathrm{c}$ E_0 = 25 кэВ и 1 кэВ при D = $10^{17}\,\mathrm{cm}^{-2}$.

Puc. 9. РЭМ и ДБЭ картины поверхности системы CoSi₂ – Si – CoSi₂ – Si

Результаты экспериментов показали, что для получения двухслойной системы разность между высокой и низкой энергиями ионов должны быть не менее 20 кэВ. С ростом разности энергии толщина слоев чистого Si, обра зующихся между нанослоями $CoSi_2$, увеличивается. Однако при энергиях ионов больше, чем 40 кэВ не удалось получить однородный слой $CoSi_2$.

Из экспериментальных данных следует, что толщина слоев $CoSi_2$ полученных в приповерхностной области Si при определенной энергии (E_0 =const) составляет ~ $10\div15$ нм, а на поверхности $3\div5$ нм. Во многих случаях возникает необходимость получения относительно «толстых» слоев $CoSi_2$. Для этого нами использовался способ имплантации Co в Si с постепенным уменшением энергии в необходимом интервале. В качестве примера на рис.10 приведен схематической разрез системы $Si/CoSi_2/Si$, полученный после прогрева при T=1000 K кремния, поэтапно имплантированного ионами Co^+c энергиями 25 кэB и 18 кэB при $D=8\cdot10^{16}$ см $^{-2}$. Видно, что толщина слоя $CoSi_2$ в Si составляет ~ $20\div25$ нм, толщина поверхностной пленки Si -10-12 нм. Уменьшая энергию ионов Co^+ в следующей последовательности 30, 25, 18, 12,

7, 3 и 1 кэВ нами получена однородная эпитаксиальная нанопленка $CoSi_2/Si(111)$ с толщиной $\sim 35 \div 40$ нм.

Были получены слоистые гетероструктуры типа $SiO_2/Si/CoSi_2/Si$ (111). Для этого в Si (111) сначала имплантировались ионы Co^+c высокой энергией (E_0 =25–30 кэВ) при $D = 10^{17}$ см⁻² и структуры прогревались при T=1000 K в течение 30–40 мин. Затем этот же образец бомбардировался ионами O_2^+c низкой энергией (E_0 =1–5 кэВ) при $D = 8\cdot10^{16}$ см⁻². После прогрева при T=800–850 K образовались система типа $SiO_2/Si/CoSi_2/Si$ (111) с переходными слоями. В случае системы $SiO_2/Si/CoSi_2/Si$ (111) полученная имплантацией ионов Co^+c E_0 =25 кэВ и O_2^+c E_0 =4 кэВ, в сочетании с прогревомтолщина внутреннего слоя $CoSi_2$ составляла $12\div15$ нм, а толщина поверхностной пленки SiO_2 - $4\div4$,5 нм (рис.11).

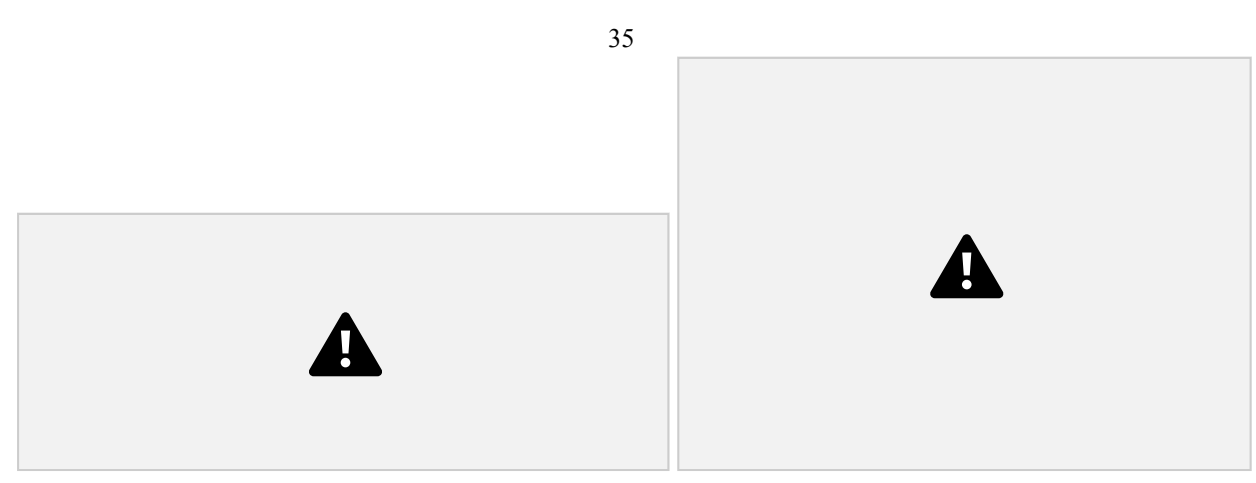


Рис. 10. Схематической разрез системы Si/CoSi₂/Si, полученный после прогрева при T=1000 К кремния поэтапно имплан тированного ионами Co⁺c энергиями 25 кэВ и 18 кэВ при D =

 $8 \cdot 10^{16} \text{cm}^{-2}$.

Рис. 11. Профили распределения атомов Si, O и Co по глубине системы SiO₂/Si/CoSi₂/Si(111).

В работе предложена методика легирования Si атомами Na, P и B с тыльной стороны (со стороны подложки — молибдена). Для этого до напыления кремния Мо предварительно легировался ионами Na⁺ (P⁺, B⁺), с оптимальной энергией ($E_0 = 4 - 5 \text{ кэB}$) и дозой ($D \approx 10^{17} \text{ см}^{-2}$). После прогрева при $T \approx 900 \text{ K}$ концентрация Na в интервале $d \approx 50 - 400 \text{Å}$ практически не меняется и составляет 0,1–0,2 ат.%, а при T = 1000 K - в интервале d = 0 - 500 Å составляет $\sim 0,05$ ат.%. При этом тип проводимости Si переходит из n

типа в р-тип. В случае легирования Si атомами P тип проводимости не изменяется, однако удельное сопротивление образцов резко уменьшается. На поверхности металлических и полупроводниковых подложек присутствуют тонкие окисные пленки, препятствующие образованию прочных связей

между конденсатом и материалом подложки. В случае
ионно-стимулированного осаждения в результате ионной бомбардировки
происходит разрушение окисных пленок, причем с увеличением степени их
разрушения резко возрастает адгезия напыляемой пленки к
подложке. Если толщина конденсируемой пленки $x \leq $, $(L_k - $ толщина
осаждаемый пленки $+l$, l — толщина окисной пленки), то скорость
разрушения окисной пленки под воздействием ионов
определяется уравнением, (2)
где $J = \alpha_u J_n$ – поток ионов; N – число оставшихся неразрушенных связей
Si-O в окисной пленке в момент времени t; – сечение разрыва
связи Si-O. При << степень разрушения окисной пленки за счет ионной
составляющей потока пара оценивается величиной
\downarrow , (3)
26
36
где — - число связей Si-O в исходной пленке до напыления; — - число
неразрушенных связей Si-O, сохранившихся к моменту времени . Величину
находим по формуле
палодим по формуле
. (4)
В целом степень разрушения окисной пленки равна
. (5)
Результаты проведенных расчетов показали, что наличие в потоке пара
1 to just in the beginning partition notice in the interest into b notice input

Результаты проведенных расчетов показали, что наличие в потоке пара даже нескольких процентов ускоренных ионов приводит почти к полному разрушению окисной пленки и созданию переходного слоя, причем рассчитанная толщина которого согласуется с полученной экспериментально. Все это объясняет повышенную адгезию пленок алюминия на кремневых подложках и резкое снижение контактного электросопротивления при электронно-лучевом плазменном напылении (ЭЛПН) по сравнению с термическим напылением (ТН).

ЗАКЛЮЧЕНИЕ

В результате исследования наноразмерных структур и многослойных систем на основе монокристаллов Мо и Si методами эпитаксии и ионной имплантации, изучению закономерностей и выяснению физических механизмов их формирования сделаны ледующие выводы.

1. Установлено, что при имплантации ионов Nb⁺ в Мо в сочетании с прогревом вследствие частичного замещения в узлах решетки атомов Мо

атомами Nb формируются нанокристаллические фазы интерметаллического соединения Nb+Mo, а в случае имплантации ионов Ba⁺в Мо интерметаллические соединения не образуются.

- 2. Выявлена неизменность плотности атомов в приповерхностном слое Мо при образовании интерметаллидов Nb+Mo и уменьшение еф поверхности, а также заметное изменение $\delta_{\rm m}$ и Y молибдена из-за наличия наноразмерных фаз и слоев.
- 3. Показано, что метод изучения зависимости интенсивности проходящего света от его энергии (длины волны) является эффективным для оценки степени покрытия поверхности полупроводников и диэлектриков новыми фазами и определения ширины запрещенной зоны наноразмерных структур, расположенных на различных глубинах исследуемого материала.
- 4. Методом имплантации ионов Ме в Si получены нанокристаллические фазы $MeSi_2$ и слои на поверхности и в приповерхностном слое Si, оценены значения разрыва краев зон ΔE_c и ΔE_v на границе гетероструктур $CoSi_2/Si$ при переходном слое $MeSi_2/Si$ толщиной $100-120\mbox{Å}$.
- 5. Показно, что объем нанокристаллических фаз $MeSi_2$, созданных в различных глубинах Si с постоянный дозой имплантированных ионов будет

37

примерно одинаковым, а ширина запрещенной зоны нанокристаллических фаз $CoSi_2$ с размерами $(1-2)\cdot 10^{-18}$ см³сформированных в различных глубинах приповерхностной областях Si, находится в пределах 0.8-0.9 эВ.

- 6. Показана возможность получения сплошных однородных поликристаллических пленок SiO_2 толщиной d=25-100 Å путем варьирования энергией ионов в пределах 1-5 кэВ при низкоэнергетической высокодозной ($D \ge 6 \cdot 10^{16} \, \text{cm}^{-2}$) имплантации ионов в Si в сочетании с термическим отжигом. Ширина запрещенной зоны SiO_2/Si составляет 8,5-9 эВ. В пленках SiO_2/Si и $CoSi_2/Si$, полученных при дозах ионов $D=8\cdot 10^{15}-4\cdot 10^{16} \, \text{cm}^{-2}$ имеются регулярно расположенные наноучастки Si с плотностью $10^{10}-10^{11} \, \text{cm}^{-2}$.
- 7. Показано, что электронно-лучевое плазменное напыление ускоренных ионов $Al^+(\sim 2-3\%)$ приводит к разрушению связи Si-O и освобождению кислорода, улучшению адгезии атомов Al в Si и снижению контактного электросопротивления в 8-10 раз.
- 8. Методом ионной имплантации получены двухслойные наносистемы типа $MeSi_2/Si/MeSi_2/Si$ на поверхности Si и определены оптимальные режимы ионной имплнтации и нагрева обеспечивющие получение нанослоев на различных глубинах $MeSi_2$
- 9. Предложена методика легирования Si со стороны подложки, основанная на предварительном внедрении примесей в подложку ионной бомбардировкой. В частности, в случае легирования системы Si/Mo фосфором, оптимальным являлись энергия ионов E_0 =4-5 кэB, доза

облучающих ионов $D=10^{17}$ см⁻²и температурный прогрев при T=1000 К.

38

SCIENTIFIC COUNCIL AWARDING SCIENTIFIC DEGREES DSC.27.06.2017.FM/T.34.01 PHYSICAL-TECHNICAL INSTITUTE, INSTITUTE OF ION-PLASMA AND LASER TECHNOLOGIES, SAMARKAND STATE UNIVERSITY TASHKENT STATE TECHNICAL UNIVERSITY

ERGASHOV YOKUB SUVONOVICH

FORMATION PATTERNS AND ELECTRONIC PROPERTIES OF NANOSCALE STRUCTURES CREATED ON THE SURFACE AND NEAR SURFACE REGION OF Mo AND Si BY METHOD OF ION BOMBARDING

01.04.04 - Physical electronics

ABSTRACT OF DISSERTATION OF THE DOCTOR OF PHILOSOPHY (PhD) ON PHYSICAL AND MATHEMATICAL SCIENCES

TASHKENT-2017

39

The theme of dissertation of doctor of philosophy (PhD) on physical and mathematical sciences was registered at the Supreme Attestation Commission at the Cabinet of Ministers of the Republic of Uzbekistan under number B2017.1. PhD/FM24.

Dissertation has been prepared at physical-technical institute.

The abstract of the dissertation is posted in three languages (uzbek, russian, english (resume)) on the website (fti-kengash.uz) and the "Ziyonet" Information and educational portal (www.ziyonet.uz).

Scientific supervisor: Umirzakov Baltokhodja Ermatovich

Doctor of Physical and Mathematical Sciences, Professor

Official opponents: Egamberdiev Bakhrom Egamberdievich

Doctor of Physical and Mathematical Sciences, Professor

Tursunmetov Komil Akhmedovich

Doctor of Physical and Mathematical Sciences

Leading organization: Fergana Polytechnic Institute

Defense will take place «»	2017 at	at the meeting of Scientific Council
number DSc.27.06.2017.FM/T.34.01 Phy	sical-technical institute,	institute of ion-plasma and laser
technologies, Samarkand state university.	(Address: 100084, Uzbel	kistan, Tashkent, 2B Bodomzor yuli
street. Phone/fax: (+99871) 235-42-91, e-ma	ail: <u>lutp@uzsci.net</u> .).	

Dissertation is possible to review in Information-resource centre at Physical-technical institute (is registered № ____) (Address: 100084, Uzbekistan, Tashkent, 2B Bodomzor yuli street. Phone/fax: (+99871) 235-42-91, e-mail: lutp@uzsci.net).

Abstract of dissertation sent	t out on «	>>>	2017 year
(Mailing report №	on «	>>	2017 year

S.L. Lutpullayev

Chairman of scientific council on award of scientific degrees, D.F.-M.S., professor

A.V. Karimov

Scientific secretary of scientific council on award of scientific degrees, D.F.-M.S., professor

S.A. Bakhramov

Chairman of scientific Seminar under Scientific Council on award of scientific degrees, D.F.-M.S., professor

INTRODUCTION (abstract of PhD thesis)

The aim of the research work. Obtaining nanoscale structures and multilayer systems based on Mo and Si single crystals by epitaxy and ion implantation, studying regularities and elucidating the physical mechanisms of their formation

The object of the research work. Monocrystalline Mo and Si samples implanted by ions in a wide energy range (0.2 - 40 keV) and doses $(D = 10^{14} - 10^{17} \text{ cm}^{-2})$.

Scientific novelty of there search work. The physical mechanisms for the formation of intermetallic compounds of the Nb + Mo type in the near-surface Mo layer during the implantation of Nb + ions in combination with annealing have been established and it has been experimentally proved that the formation of an intermetallic compound leads to the formation of the Mo subband of 4d electrons Nb below the Fermi level of Mo, which leads to a change in the density of the valence electron state Mo.

It has been experimentally established that the intermetallic compound is not formed in the implantation of Ba⁺ions in Mo, but as a result of the decrease in the work function and the increase in the atomic density of the near-surface layer, the

emission efficiency of secondary and photoelectrons increases 2 or more times. the main regularities of the formation of nanoscale phases and MeSi₂ layers in the near-surface region of Si in the process of ion implantation and subsequent annealing are established, and methods for estimating their dimensions and determining the parameters of the energy bands based on studying the change in the intensity of transmitted light are developed;

The technology of obtaining homogeneous polycrystalline nanofilms of SiO_2 of various thicknesses (d \approx 20-100Å) and with a bandgap width of \sim 8.5 \div 9 eV by the implantation of O_2^+ ions on the Si surface has been developed; It is justified that the presence of several percents of accelerated ions (E_0 = 1-2 keV) in the stream of sputtered metallic substances (Al) leads to the complete destruction of a thin oxide film on the Si surface and to the creation of a transition layer leading to an increase in the adhesion of metal to silicon substrates and a sharp decrease in the contact electrical resistivity;

a method for obtaining nanoscale two-layer systems of the MeSi₂/Si/MeSi₂/Si (Me Co, Na) type with an integrated thickness not exceeding 40-50 nm; the thickness of the CoSi₂ surface film is $3 \div 5$ nm; the thickness of the near-surface film is $10 \div 12$ nm, and the thickness of the Si film between these layers is 10-20 nm.

Implementation of there search results. Based on the results of the study of the formation of the Mo and Si surface and in the surface region of nanosized phases:

The results obtained on the formation of nanoscale phases on the surface and in the near-surface region of Mo and Si were used in scientific projects OT-A3-56 "Development of uncooled high-efficiency receivers of thermal radiation and thermoelectric infrared radiation converters based on films of higher manganese silicide" and F-2-31 "Investigation of the structure and physical properties of nano-

41

sized films of metal silicides and the development of heat-sensitive structures "(Reference No FTA-0211/360 Science and Technologies Agency of the Republic of Uzbekistan dated July 19, 2017);

The main regularities of the formation of nanoscale phases and MeSi₂ layers in the near-surface region and on their basis are studied. The triple estimation of the sizes and determination of the parameters of the energy zones was developed (the catalog of the VIII Republican Fair of Innovative Ideas, Technologies and Projects "Electronic Installation for Measurement and Stabilization of Temperature of Electronic Devices"). The developed device allowed to save energy.

The outline of the thesis. The thesis consists of an introduction, four chapters, a conclusion, a list of references. The thesis consists of 135 pages.

ЭЪЛОН ҚИЛИНГАН ИШЛАР РЎЙХАТИ СПИСОК ОПУБЛИКОВАННЫХ РАБОТ LIST OF PUBLISHED WORKS

42

I бўлим (I часть, part I)

- 1. Нурматов Н.А., Эргашов Ё.С., Холов А. Исследование ионно имплантированных атомов молибдена на поверхности монокристаллов ниобия // Узбекский Физический Журнал. -Ташкент, 2011, -Т. 13, №2, -С.129-132. (01.00.00, №5).
- 2. Бурибаев И., Нурматов Н.А., Эргашов Ё.С., Талипов Н., Холов А.

- Исследование фотоэлектронных спектров ионно-имплантированного монокристалла Mo(111) // Поверхность. Рентгеновские, синхротронные и нейтронные исследования. -Россия, 2012, №9, -C.55-58. (01.04.04, №39).
- 3. Нурматов Н.А., Эргашов Ё.С., Холов А., Хамиджонов И.Х., Матякубов Б.М. Исследование распределение атомов ниобия по глубине сплава молибдена с ниобием // Вестник НУУз. -Ташкент, 2013, №2/1, -С.49-51. (01.00.00, №3).
- 4. Нурматов Н.А., Эргашов Ё.С., Холов А., Талипов Н., Хамиджонов И.Х. Влияние поверхностных состояный на термоэлектронную эмиссию Мо(111), имплантированного ионами ниобия // Узбекский Физический Журнал. Ташкент, 2013, -Т. 15, №1-2, -С.87-89. (01.00.00, №5).
- 5. Эргашов Ё.С. Определение оптимальных режимов ионной бомбардировки и последующего отжига с целью создания наноразмерных структур на поверхности Si // Вестник ТГТУ. -Ташкент, 2015, спец. выпуск, -С.53-56. (05.00.00; №16)
- 6. Ergashov Y.S., Tashmukhamedova D.A., Rabbimov E. Energy Spectra of SiO₂ Nanofilms Formed on a Silicon Surfaceby Ion Implantation // Journal of Surface Investigation. X-ray, Synchrotron and Neutron Techniques. -Russia, 2015, -Vol. 9, №2, -P.350–354. (№11. Springer, IF: 0,359).
- 7. Ergashov E. S., Isakhanov Z. A., and Umirzakov B. E. Transmission of Electromagnetic Waves through Thin Cu Films.ISSN 1063-7842, Technical Physics, 2016, Vol. 61, No. 6, -P.953–955. (№11. Springer, IF: 0,632). 8. Ergashov Y. S., Tashmukhamedova D. A., and Umirzakov B. E. On the Synthesis of Nanoscale Phases of Metal Silicides in the Near-Surface Region of Silicon and the Study of Their Electronic Structures by Passing Light. ISSN 1027- 4510, Journal of Surface Investigation: X-ray, Synchrotron and Neutron Techniques, 2017, -V. 11, No. 2, -P. 480–484. (№11. Springer, IF: 0,359). 9. Y.S. Ergashov, B.E. Umirzakov. Effect of Implantation of Ba⁺ and Nb⁺Ions on the Morphology, Composition, and Emission Properties of Mo (111). ISSN 1064- 2269, Journal of Communications Technology and Electronics, 2017, -Vol. 62, No. 6, -P. 612–615. (№11. Springer, IF: 0,446).
- 10. Ergashov Y. S. Composition and Properties of Nanoscale Si Structures Formed on the CoSi₂/Si(111) Surface by Ar+ Ion Bombardment. ISSN 1063-7842, Technical Physics, 2017, -V. 62, No. 5, pp. 777–780. (№11. Springer, IF: 0,632).

II бўлим (II часть, part II)

- 11. Нурматов Н.А., Эргашов Ё.С., Отамуродов Г.Р., Талипов Н. Исследование особенности фотоэлектронных спектров поверхности монокристалла молибдена имплантированных низкоэнергетическими ионами ниобия // Аспирант и соискатель. -Россия, 2012, -№2, -С.195-198.
- 12. Нурматов Н.А., Эргашов Ё.С., Холов А., Отамуродов Г.Р., Хамиджонов И.Х. Исследование низкоэнергетической ионной имплантации атомов ниобия в монокристаллических образцах из молибдена // Новые материалы и

- технологии в металлургии и машиностроении. -Украина, 2013, №1, -С.135-138.
- 13. Эргашов Ё.С. Изучение формирования фотоэлектронных спектров ионно легированного монокристалла молибдена // UzPEC 5: 5-ая конференции по Физической электронике. 28-30 Октября. 2009. -Ташкент. -С.64 14. Бурибаев И., Нурматов Н.А., Холов А., Талипов Н., Эргашов Ё.С. О механизмах образования твердого раствора замещения в металлическых сплавах полученных ионным легированием // UzPEC 5: 5-ая конференции по Физической электронике. 28-30 Октября 2009. -Ташкент. -С.73 15. Нурматов Н.А., Эргашов Ё.С., Холов А., Талипов Н. Исследование ионно имплантированных атомов молибдена на поверхности монокристаллов ниобия // Взаимодействия ионов с поверхностью: Сборник Материалы XVIII Международной конференции 25-29 август 2011,. -Звенигород. 2011, IV-секция, T1, -С. стр.276-279
- 16. Нурматов Н.А., Эргашов Ё.С., Холов А., Талипов Н. Исследование особенности электронной структуры поверхности монокристалла молибдена имплантированных низкоэнергетическими ионами ниобия // Взаимодействия ионов с поверхностью: Сборник Материалы XVIII Международной конференции 25-29 август 2011,. -Звенигород. 2011, IV-секция, -С. Т1, -С.195-198
- 17. Нурматов Н.А., Эргашов Ё.С., Холов А., Талипов Н., Хамиджонов И.Х. Влияние температуры на фотоэлектронную эмиссию Mo(111) имплантированногоионаминиобия // International conference of Actual problems physical electronics. November 28, 2012, pp.2.
- 18. Нурматов Н.А., Эргашов Ё.С., Талипов Н., Хамиджонов И.Х.. Исследование термодиффузии, сегрегации и распределение атомов ниобия по глубине в разбавленных сплавах молибдена с ниобием // Взаимодействия ионов с поверхностью: Труды XXI международной конференции Ярославль, Россия 22–26 августа 2013 г, Т1, -С. стр.344-347
- 19. Ergashov Y.S. Study thermal diffusion, segregation and distribution of niobium atoms in depth of diluted alloy of molybdenum with niobium //TWAS Regional Conference of Young Scientists on Recent Trends in Physical & Biological Sciences, March 7-8, 2014 at Bangalore, India, p.№7.
- 20. Нурматов Н.А., Эргашов Ё.С. Состав, структура и эмиссионные свойства Мо, W, Ті легированных ионной бомбардировкой // Взаимодействия заряженных частиц с кристаллами: 44-международной Тулиновской

44

конференции 27-29-май 2014, Москва, -С.95.

- 21. Умирзаков Б.Е., Эргашов Ё.С., Раббимов Э. Энергетические спектры нанопленочных структур $BaSi_2$, $CoSi_2$ и SiO_2 , созданныхна поверхности Si ионной имплантацией // Взаимодействия заряженных частиц с кристаллами: 44-международной Тулиновской конференции 27-29-май 2014, Москва. C.100.
- 22. Нормуродов М.Т., Ташатов А.К., Мирджалилова М.А., Донаев С.Б.,

- Эргашов Ё.С. Изучение процессов образования наноструктур Si на поверхности SiO₂ при ионной бомбардировке // Муқобил энергия манбаларидан фойдаланишнинг долзарб муаммолари: Республика илмий техникавий анжуман материаллари, Карши, 28-29 апрель 2014, -С. 273. 23. Эргашов Ё.С., Исаханов З.А., Ташмухамедова Д.А., Умирзаков Б.Е. Прохождение электромагнитных излучений через тонкие нанопленкимонокристаллического Си // Оптическим и фотоэлектрическим явлениям в полупроводниковых микро и наноструктурах: III Международной конференция, Фергана, 14-15 ноября 2014, -С.222.
- 24. Tashmukhamedova D.A., Umirzakov B.E., Boltaev X.X., Ergashov Y.S. Profiles distribution of atoms to border nanofilms of systems Si/SiO₂/Si, created by ionic implantation // E-MRS: Grand Palais France Spring Meeting from 2015 May 11th to 15th Lille, -P.9/14.
- 25. Умирзаков Б.Е., Эргашов Ё.С., Ташатов А.К., Холмухамедова В.Х. Ширина запрещенной зоны наноструктур Si созданных на поверхности SiO_2 ионной бомбардировкой // Взаимодействия заряженных частиц с кристаллами: 45-межд. Тулиновской конференции 26-28-май, 2015 Москва. C.148.
- 26. Умирзаков Б.Е., Эргашов Ё.С., Донаев Б.Д. Ширина запрещенной зоны нанокристаллических фаз $NaSi_2/Si$ и Si/SiO_2 // Фундаментальные и прикладные вопросы физики: Сборник тезисов докладов международной конференции, 5 6 ноября 2015 й., Ташкент, -C.302-304.
- 27. Ergashov Y.S., Tashatov A.K., Umirzakov B.E. Obtaining nanosized phases of metals silicide in the surface region of Si and investigation their electronic structure by the me. E-MRS: Spring Meeting, France. May 2–6, 2016. BB.13.11 28. Умирзаков Б.Е., Ташмухамедова Д.А., Эргашов Ё.С., Ибрагимова Б.В. Получение наноразмерных фаз CoSi₂ на поверхности и приповерхностной области Si // Взаимодействия заряженных частиц с кристаллами: Тезисы докл. XLVI межд. Тулиновская конф. Москва. 31 мая 2 июня 2016, -С. 166. 29. Умирзаков Б.Е., Эргашов Ё.С., Болтаев Х.Х., Раббимов Э., Ташмухаммедова Д.А. Профили распределения атомов Si по глубине системы Si-CoSi₂-Si // Актуальные проблемы молекулярной спектроскопии конденсированных сред: V Межд. конф. 22-24 сентября 2016. –Самарканд. 2016. –С.85.
- 30. Эргашов Ё.С., Нарбаев А.Э., Абдувойитов А.А., Ташмухамедова Д.А., Умирзаков Б.Е.. Легирование пленок Si со стороны подложки. XI Конференция и X Школа молодых ученых и специалистов по актуальным проблемам физики, материаловедения, технологии и диагностики кремния,

45

нанометровых структур и приборов на его основе // Кремний-2016: 12-15 сентября 2016 г., Новосибирск. -С.171.

31. Ergashov Y.S., Donaev B.D., Umirzakov B.E. Composition and properties of nanoscale structures Si, created on a surface of CoSi₂/Si(111) bombardment with ions Ar⁺. New Trends of Development Fundamental and Applied Physics:

- Problems, Achievements and Prospects 10-11 November 2016, Tashkent. P.372-373.
- 32. Ergashov Y.S., Umirzakov B.E. Obtaining and study of the electrical properties of nanoscale structures of MeSi₂ in different depths Si // E-MRS: Spring Meeting, Symposium P. Strasbourg, France. May 22 26, 2017. P 9.52
- 33. Эргашов Ё.С., Умирзаков Б.Е., Донаев Б.Д., Ибрагимова Б.В. Получение и изучение электрических свойств наноразмерных стуктур $MeSi_2$ на различных глубинах в кремнии // Взаимодействия заряженных частиц с кристаллами: Тезисы докладов XLVII международная Тулиновская конференция. Москва. 30 мая 1 июня 2017 г, -С. 139.
- Эргашов Ë.C., Ташмухамедова Д.А., Донаев Б.Д. 34. Получение наноразмерных слоев CoSi₂ на поверхности и приповерхностной области Si // Фундаментальные прикладные вопросы физики: Международная И конференция, АНРУз НПО «Физика- солнца», 13-14 июнь 2017 г. Т.2. -С.199-200.

Босишга рухсат этилди: 06.07.2017 йил Бичими 60х84 1/8 , «Times New Roman» гарнитураси. Офсет усулида босилди.

Шартли босма табоғи 2.75 нашр босма табоғи 2.5 Тиражи: 100. Буюртма: № 8.

«Aloqachi» босмахонасида чоп этилди. Тошкент шахри, А. Темур кучаси 108